

Maciej Mamiński

ZBIOROWISKA ROŚLINNE TORFOWISK

BEŁCHATOWSKIEGO OKRĘGU PRZEMYSŁOWEGO

PEATBOG PLANT COMMUNITIES

OF BEŁCHATÓW INDUSTRIAL REGION

ABSTRACT: In the paper a variety of plant communities found on peatbogs of Bełchatów Industrial Region is presented. The author describes 20 plant communities of following classes: *Potamogetonetea* R. Tx. et Prsg. 1942, *Phragmitetea* R. Tx. et Prsg. 1947, *Scheuchzerio-Caricetea fuscae* Nordh. 1926 and *Oxycocco-Sphagnetea* Br.-Bl. et R. Tx. 1943.

- Treść dokumentu przedstawia się następująco:
1. Wstęp
 2. Położenie i środowisko geograficzne terenu badań
 3. Zbiorowiska roślinne
 4. Wnioski
 5. Piśmiennictwo
 6. Summary

1. WSTĘP

Charakterystycznymi składnikami krajobrazu Bełchatowskiego Okręgu Przemysłowego (BOP) są torfowiska. Na skutek prowadzonej od

dawna eksploatacji torfu mają one obecnie najczęściej postać wy pełnionych wodą zagłębień w różnym stopniu zarośniętych roślinnością wodną, szuarową i torfowiskową.

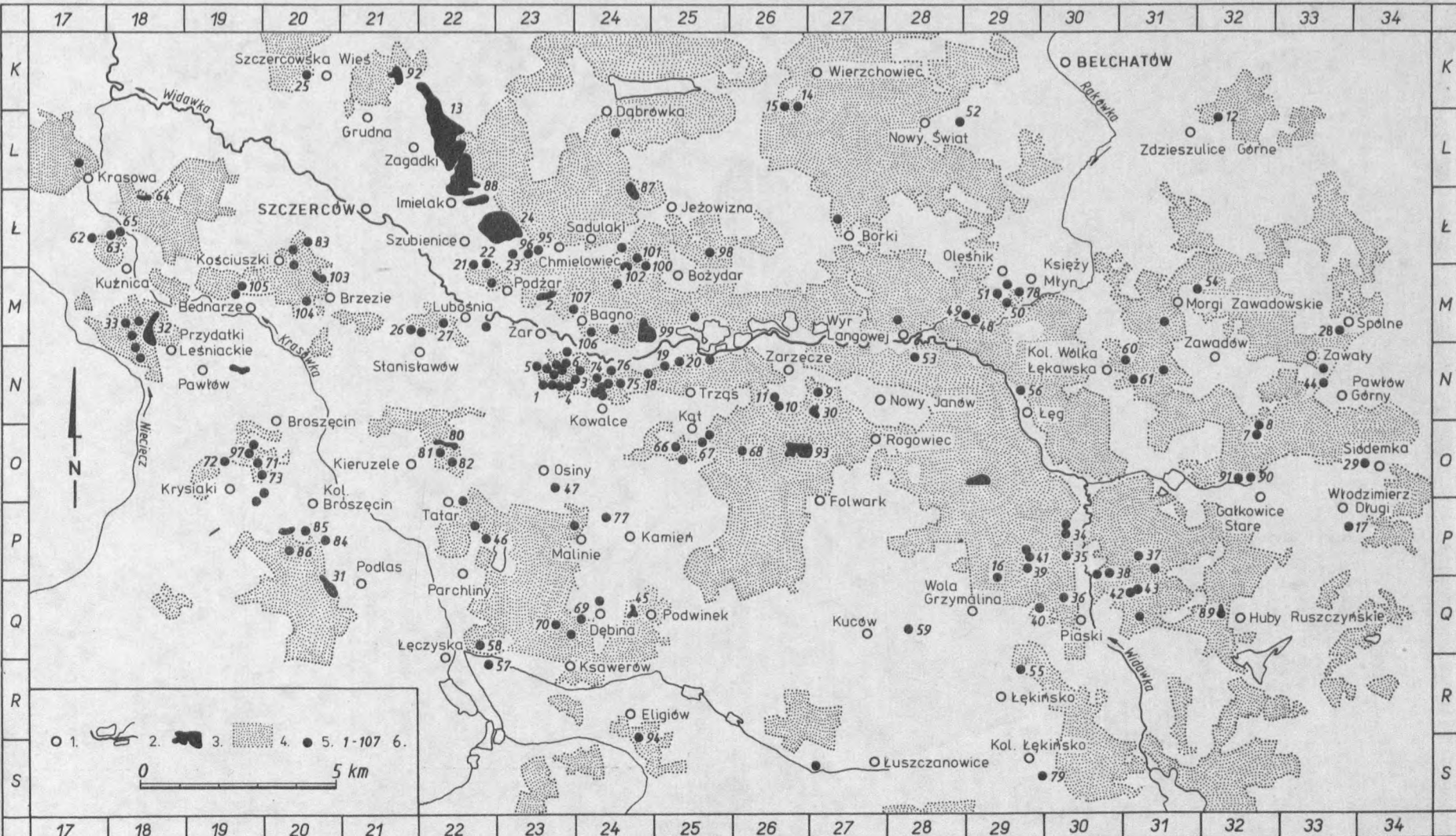
Niektóre z torfowisk położonych na terenie objętym badaniami były już w przeszłości miejscem eksploracji fitosocjologicznej (Krzyskański 1967, Herenzik 1972).

Niniejsza praca ma na celu przedstawienie zróżnicowania roślinności torfowisk (głównie na siedliskach mezo- i dystroficznych) w przededniu wielkich zmian środowiska wywołanych budową BOP. Największym zagrożeniem torfowisk jest głębokie odwodnienie terenu spowodowane budową kopalni węgla brunatnego.

Badania prowadzono w latach 1977-1983 w ramach realizacji tematu "Geobotaniczne podstawy ochrony i kształtowania środowiska w strefie oddziaływań BOP", podjętego przez Instytut Biologii Środowiskowej UŁ (Czyżewska, Olaczek 1983). Rozmieszczenie torfowisk objętych badaniami przedstawia rys. 1. Wykonano 306 zdjęć fitosocjologicznych metodą Braun-Blanqueta, z których 287 zestawiono w 13 tabelach roboczych. Na ich podstawie sporządzono tabele skrócone, zamieszczone w niniejszej pracy. Rozmieszczenie zdjęć fitosocjologicznych na tle siatki kwadratów do badań flory BOP przedstawia rys. 2. Siatka kwadratów opisana jest na ramce rys. 1.

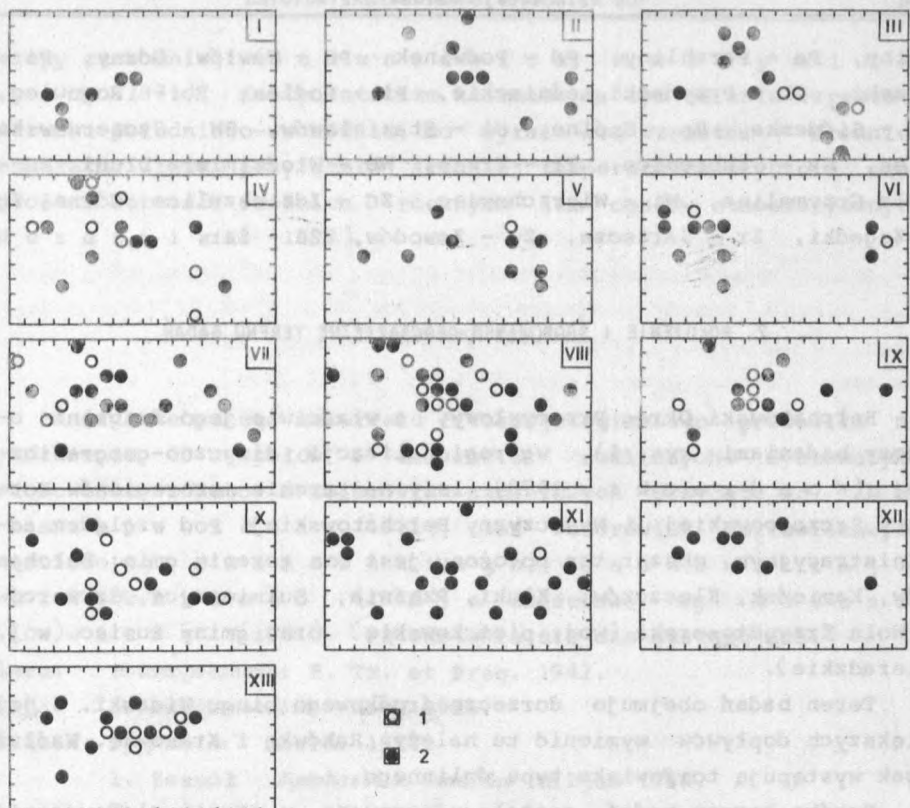
Pod tabelami fitosocjologicznymi zamieszczono spisy gatunków sporadycznych oraz gatunków, które nie weszły do tabel skróconych. Liczby po numerach zdjęć (w spisach gatunków sporadycznych) oraz po nazwach gatunków (w spisach gatunków, które nie weszły do tabel skróconych) określają wartość współczynników pokrycia. Podano wyłącznie współczynniki, których wartość jest większa od zera.

Objaśnienia skrótów nazw miejscowości użytych w tabelach fitosocjologicznych: Ba - Bagno, Bd - Bednarze, Be - Brzezie, Bo - Bożydar, Bs - Broszęcin, Ch - Chmielowiec, El - Elegów, Fo - Folwark, Gr - Grudna, GS - Gałkowice Stare, HR - Huby Ruszczyńskie, Im - Imielak, Jż - Jeżowizna, KB - Kolonia Broszęcin, Kc - Kościuszki, Ki - Kieruzele, KŁ - Kolonia Łękińsko, KM - Księży Młyn, Km - Kamień, Ko - Kowalce, Kr - Krysiaki, Ks - Ksawerów, Kt - Kąt, Ku - Kuźnica, KW - Kolonia Wólka Łękawska, Kw - Kuców, Łc - Łęczyska, Łg - Łęg, Łk - Łękińsko, MZ - Morgi Zawadowskie, NJ - Nowy Janów, NŚ - Nowy Świat, Ol - Oleśnik, Os -



Rys. 1. Rozmieszczenie torfowisk objętych badaniami fitosocjologicznymi
1 - miejscowości, 2 - rzeki, 3 - stawy rybne, 4 - lasy, 5 - torfowiska, 6 - numery torfowisk, na których wykonano zdjęcia fitosocjologiczne zamieszczone w załączonych tabelach. Na ramce rysunku opisano siatkę kwadratów do badań flory Bełchatowskiego Okręgu Przemysłowego

Fig. 1. Location of peatbogs covered by the phytosociological tests
1 - localities, 2 - rivers, 3 - fish ponds, 4 - forests, 5 - peatbogs, 6 - peatbogs numbers (only for peatbogs on which the phytosociological records presented in the enclosed tables have been made). Network of squares used in examinations of the flora of Bełchatów Industrial Region is described on the frame of the figure



Rys. 2. Rozmieszczenie zdjęć fitosociologicznych wykonanych w poszczególnych zbiorowiskach roślinnych (na tle siatki kwadratów do badań flory Bełchatowskiego Okręgu Przemysłowego)

I - *Nymphaeetum candidae*, II - zespoły ze związku *Phragmition*, III - zespoły ze związku *Magnocaricion*, IV - *Caricetum rostratae*, V - zbiorowisko z dominacją *Juncus effusus*, VI - zbiorowisko z dominacją *Carex fusca*, VII - zbiorowisko z dominacją *Eriophorum angustifolium*, VIII - *Eriophoro angustifolii-Sphagnetum recurvi*, IX - *Rhynchosporetum albae*, X - *Caricetum lasiocarpae*, XI - *Carici-Agrostietum caninae*, XII - *Sphagnetum papilloosi*, XIII - *Spragnetum magellanici*

1 - kwadraty, w których wykonano zdjęcia wykorzystane tylko w tabelach roboczych, 2 - kwadraty, w których wykonano zdjęcia zamieszczone w załączonych tabelach

Fig. 2. Location of phytosociological records made in individual plant communities (against a background of network of squares used in examinations of the flora of Bełchatów Industrial Region)

I - *Nymphaeetum candidae*, II - associations of *Phragmition* alliance, III - associations of *Magnocaricion* alliance, IV - *Caricetum rostratae*, V - community with domination of *Juncus effusus*, VI - community with domination of *Carex fusca*, VII - community with domination of *Eriophorum angustifolium*, VIII - *Eriophoro angustifolii-Sphagnetum recurvi*, IX - *Rhynchosporetum albae*, X - *Caricetum lasiocarpae*, XI - *Carici-Agrostietum caninae*, XII - *Sphagnetum papilloosi*, XIII - *Spragnetum magellanici*

1 - squares in which the records used in working tables only have been made, 2 - squares in which the records used in presented tables have been made

Osiny, Pa - Parchliny, Pd - Podwinek, PG - Pawłów Górnny, Pi - Piaski, PL - Przydatki Leśniackie, Pl - Podlas, Ro - Rogowiec, Si - Siódemka, Sp - Spólne, St - Stanisławów, SW - Szczeradowska Wieś, Sz - Szubienice, Tr - Trząs, WD - Włodzimierz Długi, WG - Wola Grzymalina, Wi - Wierzchowiec, ZG - Zdzieszulice Górne, Zg - Zagadki, Zr - Zarzecze, Zw - Zawodów, Za - Żar.

2. POŁOŻENIE I ŚRODOWISKO GEOGRAFICZNE TERENU BADAŃ

Bełchatowski Okręg Przemysłowy, a właściwie jego fragment objęty badaniami (rys. 1), wg regionalizacji fizyczno-geograficznej (Kondracki 1978) leży na terenie mezoregionów Kotliny Szczerbowskiej i Wysoczyzny Bełchatowskiej. Pod względem administracyjnym obszar ten położony jest na terenie gmin: Bełchatów, Kamieńsk, Kleszczów, Kluki, Rząśnia, Słumierzyce, Szczerów i Wola Krzysztoporska (woj. piotrkowskie) oraz gminy Rusiec (woj. sieradzkie).

Teren badań obejmuje dorzecze środkowego biegu Widawki. Z jej większych dopływów wymienić tu należy Rakówkę i Krasówkę. Wzdłuż rzek występują torfowiska typu dolinnego.

Rzeźba terenu badań została uformowana w czasie zlodowacenia środkowopolskiego w stadiale odrzańskim i warciańskim. Charakterystycznymi akcentami morfologicznymi są tu wały wydmowe. Wśród wydm występują bezodpływowe zagłębia, w których znajdują się płytkie torfowiska. Zespoły wydm i torfowisk pochodzą z krańcowego okresu Würmu (Gawlik 1970).

Na torfowiskach badanego terenu spotyka się 3 rodzaje gleb bagiennych:

- w dolinach rzecznych występują gleby mułowo-torfowe i torfowo-mułowe, wytworzone na torfach dolinnych,
- w warunkach silnego uwilgotnienia, gdzie przepływ wody jest jednak utrudniony, powstały gleby torfowisk niskich i przejściowych,
- na terasach akumulacyjnych, na torfowiskach oddzielonych od rzek, występują gleby murszowo-mineralne.

BOP leży w klimacie umiarkowanym na obszarze klimatycznym środkowoeuropejskim o wzrastającym kontynentalizmie w stosunku do

Europy zachodniej (Dubaniewicz, Maksymuk, Zych 1971). Kontynentalizm klimatu na tym terenie wzrasta w kierunku południowo-wschodnim, co wyraża się wzrostem średnich temperatur lipca przy stałej średniej temperaturze stycznia oraz wzrostem wartości średnich rocznych sum opadów atmosferycznych (Herezniak 1972).

3. ZBIOROWISKA ROŚLINNE

Analiza zebranego materiału fitosocjologicznego pozwoliła na wyróżnienie 20 zespołów i zbiorowisk roślinnych. Systematykę zbiorowiska wodnego i zbiorowisk szuwarowych przyjęto wg Matuszkiewicza (1981), zaś zbiorowisk torfowiskowych częściowo wg Jasnowskiego, Jasnowskiej i Markowskiego (1968), a częściowo wg Matuszkiewicza (1981). Przedstawia się ona następująco:

Klasa: *Potamogetonetea* R. Tx. et Prsg. 1942.

Rząd: *Potamogetonetalia* Koch 1926.

Związek: *Nymphaeion* Oberd. 1957.

1. Zespół *Nymphaeetum candidae* Miljan 1958.

Klasa: *Phragmitetea* R. Tx. et Prsg. 1942.

Rząd: *Phragmitetalia* Koch 1926.

Związek: *Phragmition* Koch 1926.

2. Zespół *Typhetum angustifoliae* (Allorge 1942) Soó 1927.

3. Zespół *Eleocharitetum palustris* Šennikov 1919.

4. Zespół *Equisetetum limosi* Steffen 1931.

5. Zespół *Phragmitetum communis* (Gams 1927) Schmale 1939.

6. Zespół *Typhetum latifoliae* Soó 1927.

Związek: *Magnocaricion* Koch 1926.

7. Zespół *Iridetum pseudacori* Eggler 1933 (n. n.).

8. Zespół *Caricetum rostratae* Rübel 1912.

9. Zespół *Caricetum elatae* Koch 1926.

10. Zespół *Caricetum appropinquatae* (Koch 1926) Soó 1938.

11. Zespół *Caricetum vesicariae* Br.-Bl. et Denis 1926.

Klasa: *Scheuchzerio-Caricetea fuscae* Nordh. 1936.

12. Zbiorowisko z *Juncus effusus*.

13. Zbiorowisko z *Carex fusca*.

14. Zbiorowisko z *Eriophorum angustifolium*.
 Rząd: *Scheuchzerietalia palustris* Nordh. 1936.
 Związek: *Rhynchosporo-Sphagnion* Koch 1926.
15. Zespół *Eriophoro angustifolii-Sphagnetum recurvi* M. Jasn., J. Jasn. et S. Mark. 1968.
16. Zespół *Rhynchosporetum albae* Koch 1926.
- Związek: *Caricion lasiocarpae* Vanden Bergh. ap. Lebrun et all. 1949.
17. Zespół *Caricetum lasiocarpae* Koch 1926.
- Rząd: *Caricetalia fuscae* Koch 1926 em. Nordh. 1937.
- Związek: *Caricion fuscae* Koch 1926 em. Klika 1934.
18. Zespół *Carici-Agrostietum caninae* R. Tx. 1937.
- Klasa: *Oxycocco-Sphagnetea* Br.-Bl. et R. Tx. 1943.
- Rząd: *Sphagno-Ericetalia* Br.-Bl. 1948 em. Moore (1964) 1968.
- Związek: *Ericion tetralicis* Schwick. 1933.
19. Zespół *Sphagnetum papilloosi* Schwick. 1940.
- Rząd: *Sphagnetalia magellanici* (Pawł. 1928) Moore (1964) 1968.
- Związek: *Sphagnion magellanici* Kästner et Flössner 1933 em. Dierss. 1975.
20. Zespół *Sphagnetum magellanici* (Malc. 1929) Kästner et Flössner 1933.

Nymphaeetum candidae Miljan 1958 (tab. I)

Zespół grzybieni północnych występuje w wodach dystroficznych, w stosunkowo młodych ale płytowych dołach potorfowych. Na terenie badań jest zbiorowiskiem niezbyt pospolitym. Najlepiej wykształcone jego płaty stwierdzono na torfowiskach w pobliżu miejscowości Kolonia Broszęcin i Trząs. Zespół ten odgrywa istotną rolę w zarastaniu dołów potorfowych poprzedzając sukcesję zespołu wełnianki wąskolistnej i torfowca odgietego, zespołu turzyicy nitkowej czy też zbiorowiska z dominacją wełnianki wąskolistnej. Ze zbiorowiskami tymi *Nymphaeetum candidae* najczęściej też graniczny.

Płaty zespołu grzybieni północnych spotykane na terenie badań są ubogie pod względem florystycznym. Podobne płaty *Nymphaeetum candidae* opisali z rezerwatu "Dobroń" Kurowski i Mamiński (1981). Bogatszą postać tego zbiorowiska opisał ze starorzeczy Warty Krzywąński (1974) jako *Myriophylo-Nupharatum* wariant z *Nymphaea candida* i *Nuphar luteum*.

(Nr) 1 siedz.

Tabela I

Nymphaeetum candidae Miljan 1958

	1	2	3	4	5	6	7	8	9	10		
Numer kolejny zdjęcia Successive number of record												
Numer zdjęcia Number of record	21	21	21	20	20	21	18	21	21	20		
Data Date	25	33	30	92	86	02	44	18	32	90		
Miejscowość Locality	Kr	KB	KB	Tr	Tr	Tr	Pl	Ki	KB	Ko		
Numer torfowiska Peatbog number	72	84	86	18	19	19	31	82	85	75		
Pokrycie roślin nadwodnych w % Cover of plants protruding out of the water in %	-	-	-	-	5	5	20	5	10	5		
Pokrycie roślin nawodnych w % Cover of plants floating over the water in %	70	70	30	40	60	60	40	60	70	60		
Pokrycie roślin podwodnych w % Cover of submerged plant layer in %	30	10	-	-	40	20	-	-	10	30		
Powierzchnia zdjęcia w m ² Area of record in m ²	25	25	25	25	25	25	25	25	25	25		
Liczba gatunków Number of species	2	2	3	3	6	7	6	3	3	4		
<i>Nymphaea candida</i>	4	4	3	3	4	3	3	4	4	4	V	5208
<i>Potamogetonetea</i>												
<i>Potamogeton natans</i>	.	.	.	2	+	+	II	148
<i>Hydrocharis morsus-ranae</i>	.	.	.	1	+	II	43
<i>Myriophyllum verticillatum</i>	2	I	146
<i>Phragmitetea</i>												
<i>Equisetum limosum</i>	+	+	1	+	.	.	II	44
<i>Carex rostrata</i>	1	+	1	.	.	.	II	126
<i>Heleocharis palustris</i>	1	2	.	I	188
<i>Carex hudsoni</i>	1	I	42

Tabela I (cd.)

<i>Scheuchzerio-Caricetea</i>											
<i>fuscae</i>											
<i>Sphagnum subsecundum</i>	.	.	1	.	.	.	+	.	.	1	43
<i>Comarum palustre</i>	1	.	.	.	11	43
<i>Sphagnum cuspidatum</i>	.	.	1	1	42
<i>Carex lasiocarpa</i>	+	.	.	.	1	1
<i>Eriophorum angustifolium</i>	2	.	.	1	146
Gatunki towarzyszące Accompanying species											
<i>Chara</i> sp.	3	.	.	.	3	.	.	.	3	11	938
<i>Utricularia neglecta</i>	.	2	2	.	11	438
<i>Utricularia intermedia</i>	1	.	.	.	1	43

* Stałość i współczynnik pokrycia podano dla 12 zdjęć fitosociologicznych. Constancy and index of coverage given for 12 phytosociological records.

Zespoły ze związku *Phragmition* (tab. II)

Szuwary właściwe na terenie badań występują na ogół w mazotroficznych dołach potorfowych, na wielkopowierzchniowych torfowiskach niskich w dolinach rzecznych, jak również na torfowiskach przejściowych. Zespoły ze związku *Phragmition* spotyka się najczęściej na podłożu mineralnym, pokrytym niezbyt grubą warstwą osadów organicznych. Ze względu na dużą produkcję biomasy szuwary właściwe odgrywają dużą rolę w zarastaniu i wypłycaniu dołów potorfowych.

Zespoły ze związku *Phragmition* często graniczą bezpośrednio z lustrem wody. Od strony lądu towarzyszą im natomiast zbiorowiska turzycowe lub zarośla żozowe.

Na zbadanych torfowiskach stwierdzono obecność takich zespołów ze związku *Phragmition* jak *Typhetum angustifoliae*, *Eleocharitetum palustris*, *Equisetum limosi*, *Phragmitetum communis* oraz *Typhetum latifoliae*.

T a b e l a I I

Zespoły ze związku *Phragmition* Associations of *Phragmition* alliance

Tabela II (cd.)

<i>Comarum palustre</i>	+	.	.	.	2	2	.	+	3	+
<i>Drepanocladus fluitans</i> d	.	+	3	2	.	.	.	4	+	.
<i>Carex fusca</i>	.	+	2	1
<i>Agrostis canina</i>	.	+	+
<i>Drepanocladus aduncus</i> d	2	5.	5.	5.
<i>Sphagnum cuspidatum</i> d	.	4
<i>Carex canescens</i>	.	5.	5.	5.	1
<i>Stellaria palustris</i>	.	5.	5.	5.	.	1
<i>Hydrocotyle vulgaris</i>	.	5.	5.	5.	.	.	1	.	.	.
<i>Sphagnum subsecundum</i> d	3	.
<i>Calliergon stramineum</i> d	+	.
<i>Sphagnum recurvum</i> d	+	.
<i>Epilobium palustre</i>	.	5.	5.	5.	2
<i>Carex lasiocarpa</i>	+
<i>Molinio-Arrhenatheretea</i>										
<i>Lythrum salicaria</i>	+	.	.	.	+	2
<i>Lysimachia vulgaris</i>	.	5.	5.	5.	1	.	+	.	.	+
<i>Juncus effusus</i>	.	5.	5.	5.	.	1	1	.	.	2
Gatunki towarzyszące Accompanying species										
<i>Brachythecium mildeanum</i> d	4	5

Gatunki sporadyczne (Sporadic species): *Betula verrucosa* c + (10), *Calila palustris* + (1), *Cirsium arvense* + (7, 10), *Epilobium montanum* + (10), *Hottonia palustris* 1 (6), *Hydrocharis morsus-ranae* 1 (6, 9), *Lemna minor* + (5, 9), *Lycopus europaeus* 1 (6), + (10), *Nymphaea candida* + (1), *Polygonum persicaria* + (3), *Potentilla anserina* 1 (4), *Salix cinerea* c+(8, 10), *Sphagnum fimbriatum* 1 (8), *Utricularia intermedia* 1 (9).

Typhetum angustifoliae (Allorge 1922) Soó 1927 - zdjęcie 1 (record 1), *Eleocharitetum palustris* Sennikov 1919 - zdjęcia 2-5 (records 2-5), *Equisetum limosii* Steffen 1931 - zdjęcia 6-7 (records 6-7), *Phragmitetum communis* (Gams 1927) Schmale 1939 - zdjęcie 8 (record 8), *Typhetum latifoliae* Soó 1927 - zdjęcia 9-10 (records 9-10).

Zespoły ze związku *Magnocaricion* (tab. III i IV)

Szuwary wielkoturzycowe na terenie badań spotyka się w miejscowościach bardziej wypłyconych i mniej uwilgotnionych niż zespoły ze związku *Phragmition*. Występują one w mezotroficznych dołach po-

torfowych, najczęściej na podłożu organicznym lub organiczno-mineralnym.

Zespoły ze związku *Magnocaricion* produkują znaczne ilości masy organicznej i przyczyniają się do dalszego wypłycania miejsc, które zasiedlają. Szuwary wielkoturzycowe z jednej strony kontaktują się z szuwarami właściwymi bądź z otwartym lustrem wody, a z drugiej strony graniczą ze zbiorowiskami mszysto-turzycowymi lub zbiorowiskami zaroślowymi.

Spośród zespołów ze związku *Magnocaricion* na zbadanych torfowiskach występują: *Iridetum pseudacori*, *Caricetum rostratae*, *Caricetum elatae*, *Caricetum appropinquatae* oraz *Caricetum vesicariae*.

T a b e l a III

Zespoły ze związku *Magnocaricion*
Associations of *Magnocaricion alliance*

Numer kolejny zdjęcia Successive number of record	1	2	3	4	5	6	7	8	9	10
Numer zdjęcia Number of record	21	21	7	22	22	22	22	22	20	10
Data Date	41	27	76	16	28	27	10	44	98	60
Miejscowość Locality	15 07 82	14 07 82	24 08 77	28 07 82	29 07 82	29 07 82	27 07 82	22 06 83	2 07 81	25 07 78
Numer torfowiska Peatbog number	Jż Kr Pi Km Im Sz St Kt Tr tk									
Pokrycie warstwy runa c w % Cover of herb layer c in %	87	72	38	77	88	24	27	79	19	55
Pokrycie warstwy mszaków d w % Cover of moss layer d in %	90	80	80	90	100	100	90	100	100	90
Powierzchnia zdjęcia w m ² Area of record in m ²	15	10	50	25	15	25	25	25	25	25
Liczba gatunków Number of species	18	13	18	11	14	12	7	7	8	9
<i>Iris pseudoacorus</i>	3
<i>Carex hudsoni</i>	.	4	4	4
<i>C. paradoxa</i>	4	4
<i>C. vesicaria</i>	.	.	.	2	.	.	4	4	5	4

Tabela III (cd.)

Tabela III (cd.)

<i>Holcus lanatus</i>	1
<i>Lotus uliginosus</i>	1
<i>Cardamine pratensis</i>	.	+
<i>Taraxacum officinale</i>	.	.	1
<i>Rumex acetosa</i>	.	.	+
<i>Climacium dendroides</i>	d	2	.	.	.
Gatunki towarzyszące Accompanying species									
<i>Nymphaea candida</i>	.	+	.	1
<i>Calliergon cuspidatum</i>	d	.	.	1	.	3	.	.	.
<i>Brachythecium mildeanum</i>	d	5

Gatunki sporadyczne (Sporadic species): *Agrostis vulgaris* + (3), *Betula pubescens* c + (3), *Calliergon cordifolium* 1 (9), *Lycopus europaeus* + (5), *Mentha aquatica* + (1), *M. arvensis* 1 (8), *Pellia epiphylla* + (5), *Polygonum convolvulus* + (8), *Potentilla norvegica* + (8), *Ranunculus repens* 1 (1), *Rumex conglomeratus* + (6), *Valeriana simplicifolia* + (10).

Iridetum pseudacori Eggler 1933 (n. n.) - zdj. 1 (record 1); *Caricetum elatae* Koch 1926 - zdj. 2-4 (records 2-4); *Caricetum appropinquatae* (Koch 1926) Soó 1938 - zdj. 5-6 (records 5-6); *Caricetum vesicariae* Br.-Bl. et Denis 1926 - zdj. 7-10 (records 7-10).

Caricetum rostratae (tab. IV)

Zespół turzycy dzióbkowatej spośród innych zespołów związków *Magnocaricion* wyróżnia się bardzo szeroką amplitudą ekologiczną. Na terenie badań płyty *Caricetum rostratae* spotyka się na siedliskach o zróżnicowanym trofizmie, w zbiornikach wodnych o różnej grubości osadów organicznych, w zarastających dołach potorfowych i na ich brzegach.

Opisywany zespół jest zbiorowiskiem pospolitym. Większe jego płyty stwierdzono na torfowiskach w pobliżu miejscowości Przydatki Leśniackie, Stanisławów, Zagadki, Trzęs, Zarzecze i Piaski. Często jest on pierwszym zbiorowiskiem zasiedlającym płytke doły potorfowe i poprzedza sukcesję zbiorowisk mszysto-turzycowych z klasy *Scheuchzerio-Caricetea fuscae*.

Podobne płyty zespołu turzycy dzióbkowatej z terenów przylegających do obszaru badań opisali K r z y w a n s k i (1967) i H e r e ź n i a k (1972).

T a b e l a IV

Caricetum rostratae Rübel 1912

Numer kolejny zdjęcia Successive number of record	1	2	3	4	5	6	7	8	9	10			
Numer zdjęcia Number of record	21 35	10 90	21 09	22 30	22 37	21 73	21 22	23 23	7 87	23 38			
Data Date	14 07 82	20 06 79	29 06 81	29 07 82	29 07 82	22 07 82	14 07 82	29 06 83	23 09 77	30 06 83			
Miejscowość Locality	Bd	P1	Tr	Im	Gr	Bo	Ki	O1	Pi	Zr			
Numer torfowiska Peat bog number	105	31	20	88	92	99	80	50	42	10			
Pokrycie warstwy runa c w % Cover of herb layer c in %	60	70	90	100	80	80	70	80	80	90			
Pokrycie warstwy mszaków d w % Cover of moss layer d in %	-	-	-	-	20	30	30	80	80	90			
Powierzchnia zdjęcia w m ² Area of record in m ²	25	15	25	25	10	15	25	25	50	25			
Liczba gatunków Number of species	6	7	7	9	10	12	13	11	10	6			
											Współczynnik pokrycia (Index of coverage)*		
<i>Carex rostrata</i>	4	4	5	5	4	5	4	4	4	4	V	6458	
<i>Phragmitetea</i>													
<i>Equisetum limosum</i>	1	.	1	.	.	1	.	.	1	III	158		
<i>Heleocharis palustris</i>	.	2	1	+	+	.	II	262	
<i>Typha latifolia</i>	.	.	.	1	1	+	.	.	.	II	178		
<i>Galium palustre</i>	1	.	+	+	.	1	III	439	
<i>Lysimachia thyrsiflora</i>	.	*	*	.	.	.	+	.	.	+	II	189	
<i>Phragmites communis</i>	.	1	I	21	
<i>Typha angustifolia</i>	.	.	+	I	21	
<i>Carex hudsoni</i>	.	.	*	*	*	*	.	.	2	.	I	73	
<i>Scheuchzerio-Caricetea</i>													
<i>fuscae</i>													
<i>Comarum palustre</i>	.	+	+	.	1	.	+	.	.	3	III	773	
<i>Drepanocladus fluitans</i> d	+	+	3	4	+	.	II	720	
<i>Carex fusca</i>	.	.	+	.	.	.	2	1	.	.	II	230	

Tabela IV (cd.)

<i>Eriophorum angustifolium</i>	+	.	2	II	189
<i>Sphagnum subsecundum</i> d	2	.	+	.	.	.	II	335
<i>Carex canescens</i>	+	.	+	.	.	.	II	65
<i>Agrostis canina</i>	1	.	.	+	.	II	168
<i>Juncus articulatus</i>	+	+	.	.	I	2
<i>Epilobium palustre</i>	.	.	.	+	I	22
<i>Sphagnum recurvum</i> d	2	I	146
<i>Hydrocotyle vulgaris</i>	1	I	21
<i>Sphagnum cuspidatum</i> d	5	.	.	I	698
<i>Molinio-Arrhenatheretea</i>													
<i>Lythrum salicaria</i>	+	+	+	.	2	.	+	2	.	.	.	IV	285
<i>Juncus effusus</i>	.	+	.	+	+	+	+	.	.	1	.	III	118
<i>Lysimachia vulgaris</i>	+	+	II	44
<i>Cirsium palustre</i>	.	.	.	+	.	+	I	1
<i>Hypericum acutum</i>	.	.	.	+	I	0
Gatunki towarzyszące Accompanying species													
<i>Calliergon giganteum</i> d	1	.	.	.	5	I	781	

Gatunki sporadyczne (Sporadic species): *Betula verrucosa* c + (9) - 21, *Bryum ventricosum* + (8), *Calla palustris* 2 (6) - 146, *Calliergon cuspidatum* 2 (8) - 334, *Drosera rotundifolia* + (6), *Frangula alnus* c + (6) - 1, *Hydrocharis morsus-ranae* 1 (4, 5) - 42, *Juncus bulbosus* + (9), *Lemna minor* 2 (4) - 135, *Lycopus europaeus* + (4), *Pellia epiphylla* + (8), *Pinus sylvestris* c + (9), *Salix cinerea* c + (6, 8) - 1, *Utricularia intermedia* + (1, 7) - 74.

Gatunki, które nie weszły do tabeli skróconej (Species not specified in the above abridged table): *Alisma plantago-aquatica* 21, *Calliergon stramineum*, *Caltha palustris*, *Carex gracilis* 73, *C. paniculata*, *C. vesicaria* 73, *Cicuta virrosa* 1, *Drepanocladus vernicosus* 365, *Equisetum palustre*, *Glyceria fluitans* 22, *Hottonia palustris* 42, *Iris pseudoacorus*, *Lysimachia nummularia* 27, *Mentha arvensis* 73, *Menyanthes trifoliata* 94, *Molinia coerulea*, *Myosotis palustris*, *Peucedanum palustre*, *Poa palustris*, *Polygonum persicaria*, *Ranunculus flammula* 21, *R. lingua*, *Rumex crispus*, *R. hydrolapathum*, *R. obtusifolius*, *Sphagnum contortum* 73, *Stellaria palustris* 1, *Utricularia minor*, *U. neglecta*.

* Stałość i współczynnik pokrycia podano dla 24 zdjęć fitosociologicznych.
Constancy and index of coverage given for 24 phytosociological records.

Zbiorowisko z klasy *Scheuchzerio-Caricetea fuscae*
z dominacją *Juncus effusus* (tab. V)

T a b e l a V

Zbiorowisko z dominacją *Juncus effusus*
Community with domination of *Juncus effusus*

Numer kolejny zdjęcia Successive number of record	1	2	3	4	5	6	7	8	9	10	Stałosć (Constancy)* Współczynnik pokrycia (Index of coverage)*	
Numer zdjęcia Number of record	21	21	21	21	23	7	7	23	7	21		
Data Date	17	12	97	45	18	89	79	22	69	10		
Miejscowość Locality	14	29	23	15	29	23	24	29	12	29		
Numer torfowiska Peatbog number	07	06	07	07	06	09	08	06	08	06		
Pokrycie warstwy runa c w % Cover of herb layer c in %	82	81	82	82	83	77	77	83	77	81		
Pokrycie warstwy mszaków d w % Cover of moss layer d in %	Ki	Tr	Kr	Bo	KW	Pi	Pi	tg	Pi	Tr		
Powierzchnia zdjęcia w m ² Area of record in m ²	82	20	71	101	61	43	41	56	37	20		
Liczba gatunków Number of species	60	90	90	80	70	90	100	70	90	90		
<i>Scheuchzerio-Caricetea fuscae</i>	90	30	40	80	100	60	20	5	5	5		
<i>Agrostis canina</i>	15	25	25	25	25	50	50	15	50	25		
<i>Carex fusca</i>	14	15	7	8	7	11	14	7	12	13		
<i>Sphagnum cuspidatum</i> d	<i>Agrostis canina</i>	3	3	+	2	2	3	3	3	2	V	2173
<i>Drepanocladus fluitans</i> d	<i>Carex fusca</i>	+	2	1	2	+	1	1	1	.	V	1018
<i>Eriophorum angustifolium</i>	<i>Sphagnum cuspidatum</i> d	.	.	.	5	5	4	2	1	1	III	2750
<i>Hydrocotyle vulgaris</i>	<i>Drepanocladus fluitans</i> d	.	.	3	+	1	+	1	.	.	III	564
<i>Viola palustris</i>	<i>Eriophorum angustifolium</i>	1	+	.	.	.	1	.	1	.	III	96
<i>Sphagnum subsecundum</i> d	<i>Hydrocotyle vulgaris</i>	1	1	+	.	II	204
<i>Comarum palustre</i>	<i>Viola palustris</i>	.	+	1	.	+	III	96
<i>Carex canescens</i>	<i>Sphagnum subsecundum</i> d	5	+	I	548
<i>Epilobium palustre</i>	<i>Comarum palustre</i>	1	+	.	I	33
	<i>Carex canescens</i>	.	.	1	2	II	173
	<i>Epilobium palustre</i>	.	.	1	+	I	32

Tabela V (cd.)

<i>Carex stellulata</i>	.	1	II	234
<i>Calliergon stramineum</i> d	.	+	I	1
<i>Carex lasiocarpa</i>	+	.	I	1
<i>Molinio-Arrhenatheretea</i>													
<i>Juncus effusus</i>	4	4	4	3	4	4	4	4	4	4	4	V	6250
<i>Lysimachia vulgaris</i>	+	.	.	.	+	.	1	.	1	+	1	III	96
<i>Lythrum salicaria</i>	+	+	I	2
<i>Molinia coerulea</i>	+	.	.	+	.	.	I	33
<i>Deschampsia caespitosa</i>	.	+	II	33
<i>Cirsium palustre</i>	+	.	I	1
<i>Phragmitetea</i>													
<i>Galium palustre</i>	1	1	+	+	.	II	96
<i>Peucedanum palustre</i>	+	+	I	1
<i>Carex rostrata</i>	+	.	.	.	1	.	II	126
<i>C. hudsonii</i>	+	.	1	.	.	I	32
<i>Sparganium ramosum</i>	2	I	109
<i>Equisetum limosum</i>	+	I	1
<i>Heleocharis palustris</i>	+	I	1
Gatunki towarzyszące Accompanying species													
<i>Potentilla erecta</i>	.	+	+	+	.	.	.	II	34
<i>Sphagnum palustre</i> d	.	3	.	+	I	236

Gatunki sporadyczne (Sporadic species): *Aulacomnium palustre* + (10) - 1, *Betula pubescens* c + (9) - 1, *B. verrucosa* c + (6, 7) - 1, *Calliergon cuspidatum* 1 (10) - 94, *Carex panicea* + (2, 10) - 111, *Chamaenerion angustifolium* + (7) - 1, *Frangula alnus* c + (7) - 1, *Hieracium pilosella* + (9) - 1, *Lycopus europaeus* + (1) - 1, *Pinus silvestris* c + (6) - 1, *Pohlia nutans* + (4) - 1, *Polygonum persicaria* + (7, 8) - 1, *Rubus* sp. + (6, 9) - 2, *Salix cinerea* + (7) - 1.

Gatunki, które nie weszły do tabelli skróconej (Species not specified in the above abridged table): *Anthoxanthum odoratum* 1, *Calla palustris* 1, *Carex leporina* 1, *C. vesicaria* 31, *Cardamine pratensis* 1, *Jancus articulatus* 1, *J. bulbosus* 1, *Lotus uliginosus* 31, *Lysimachia thyrsiflora* 1, *Poa pratensis* 1, *Polygonum tomentosum* 1, *Polytrichum commune* 235, *Potentilla anserina* 1, *Ranunculus flammula* 1, *Rhytidiodelphus squarrosus* 391, *Scirpus sylvaticus* 1.

* Stałość i współczynnik pokrycia podano dla 16 zdjęć fitosociologicznych. Constancy and index of coverage given for 16 phytosociological records.

Zbiorowisko z sitem rozpierzchłym występuje na płytkich, przeważnie śródleśnych torfowiskach. Rozwija się ono w miejscach intensywnie wydeptywanych tam, gdzie na trudno przepuszczalnym podłożu zalega cienka warstwa torfu. W okresach wilgotniejszych jego płaty podtapia woda.

Opisywane zbiorowisko na terenie badań spotyka się dosyć często. Duże jego płaty występują na torfowiskach w pobliżu miejscowości Trzäs, Piaski i Kolonia Wólka Łękawska.

Zbiorowisko z sitem rozpierzchłym powstaje w wyniku wydeptywania zbiorowisk mszysto-turzycowych z klasy *Scheuchzerio-Caricetea fuscae*, z którymi też często graniczy. Po zaprzestaniu wydeptywania zbiorowisko to zarasta podrostami brzóz i krzewami żoły.

Przedstawione zbiorowisko wykazuje pewne podobieństwo do wilgotniejszego wariantu zespołu *Epilobio-Juncetum effusi* opisanego z doliny Widawki przez H e r e ń n i a k a (1972). Płaty *Epilobio-Juncetum effusi* charakteryzują się jednak znacznie większą liczbą gatunków w zdjęciu oraz większym udziałem gatunków z klasy *Molinio-Arrhenatheretea*.

Zbiorowisko z klasy *Scheuchzerio-Caricetea fuscae*
z dominacją *Carex fusca* (tab. VI)

Zbiorowisko z turzycą pospolitą spotyka się na śródleśnych, silnie wypłyconych torfowiskach w miejscowościach, gdzie osady organiczne niezbyt grubą warstwą zalegają na podłożu mineralnym.

Na terenie badań zbiorowisko z dominacją turzycy pospolitej spotyka się dosyć często. Liczne jego płaty stwierdzono na torfowiskach w pobliżu miejscowości Przydatki Leśniackie i Kieruzele. Jest ono jednym z końcowych stadiów zarastania płytkich, mezotroficznych torfowisk. Następuje po zespole turzycy siwej i mietlicy psiej a poprzedza sukcesję boru wilgotnego, z którym najczęściej w terenie graniczy.

Podobne zbiorowisko z *Carex fusca* podał z Pomorza Zachodniego P a c o w s k i (1967). W opisanych przez niego płatach znacznie większy jest jednak udział gatunków łąkowych i występują gatunki wysokotorfowiskowe.

Tabela VI

Zbiorowisko z dominacją *Carex fusca*
 Community with domination of *Carex fusca*

Numer kolejny zdjęcia Successive number of record	1	2	3	4	5	6	7	8	9	10		
Numer zdjęcia Number of record	22	22	23	21	22	21	22	21	22	21		
	48	05	20	60	13	67	20	16	09	96		
Data Date	23 06 83	27 07 82	28 06 83	21 07 82	27 07 82	13 07 82	28 07 82	14 07 82	27 07 82	23 07 82		
Miejscowość Locality	Zw	St	MZ	Ku	Be	PL	łc	Ki	St	Bs		
Numer torfowiska Peatbog number	7	26	54	64	104	33	57	82	27	97		
Pokrycie warstwy runa c w % Cover of herb layer c in %	80	40	90	80	80	80	70	80	90	80		
Pokrycie warstwy mszaków d w % Cover of moss layer d in %	-	20	40	90	100	100	100	60	90	60		
Powierzchnia zdjęcia w m ² Area of record in m ²	25	25	25	25	25	25	25	25	25	25		
Liczba gatunków Number of species	8	11	8	6	7	6	9	9	15	11		
<i>Scheuchzerio-Caricetea</i>												
<i>fuscae</i>												
<i>Carex fusca</i>	4	3	5	4	4	5	4	4	4	3	V	6000
<i>Agrostis canina</i>	+	1	2	3	1	.	+	3	3	1	V	1265
<i>Drepanocladus fluitans</i> d	.	1	2	4	5	+	IV	2178
<i>Sphagnum subsecundum</i> d	.	2	2	2	.	.	5	4	.	.	III	1951
<i>Hydrocotyle vulgaris</i>	+	.	+	.	.	.	1	.	1	.	II	239
<i>Ranunculus flammula</i>	.	1	.	.	.	+	.	1	1	1	II	101
<i>Eriophorum angustifo-</i> <i>lium</i>	+	+	II	164
<i>Sphagnum cuspidatum</i> d	5	II	714

Tabela VI (cd.)

<i>Juncus articulatus</i>	I	1
<i>Molinio-Arrhenatheretea</i>												
<i>Juncus effusus</i>	+	.	+	1	.	+	+	1	+	+	IV	331
<i>Lythrum salicaria</i>	.	2	.	+	1	.	.	+	1	2	II	414
<i>Lysimachia vulgaris</i>	+	+	.	.	1	.	.	1	.	.	III	127
<i>Molinia coerulea</i>	+	.	+	I	27
<i>Cardamine pratensis</i>	1	.	I	50
<i>Phragmitetea</i>												
<i>Galium palustre</i>	.	1	1	2	2	II	613
<i>Heleocharis palustris</i>	+	+	3	II	364
<i>Carex vesicaria</i>	+	.	.	+	I	2
<i>Lysimachia thyrsiflora</i>	1	.	.	.	II	76
<i>Peucedanum palustre</i>	+	.	.	I	1
Gatunki towarzyszące Accompanying species												
<i>Pinus sylvestris</i> c	.	+	.	.	+	+	II	28
<i>Potentilla anserina</i>	.	+	1	2	II	226
<i>Campylium polygamum</i> d	5	.	I	438
<i>Brachythecium milde-</i> <i>anum</i> d	4	I	500

Gatunki sporadyczne (Sporadic species): *Carex oederi* + (9) - 1, *C. pa-*
nicea 1 (9) - 25, *Frangula alnus* c + (1) - 1, *Juncus bulbosus* 1 (2) - 25,
Mentha arvensis + (10) - 1, *Potentilla erecta* + (1, 3) - 2, *Ranunculus re-*
pens 1 (9) - 25, *Salix cinerea* c + (7) - 1.

Gatunki, które nie weszły do tabeli skróconej (Species not specified in the above abridged table): *Calliergon cuspidatum* 438, *Carex canescens* 26,
C. pseudocyperus 1, *Climacium dendroides* 1, *Comarum palustre* 188, *Epilo-*
bium palustre 88, *Equisetum limosum* 25, *Galium uliginosum* 1, *Nymphaea can-*
dida 1, *Polytrichum commune* 488, *Sphagnum palustre* 25, *Stellaria palu-*
stris 26.

*Stałosć i współczynnik pokrycia podano dla 20 zdjęć fitosociologicz-
nych. Constancy and index of coverage given for 20 phytosociological re-
cords.

Zbiorowisko z klasy *Scheuchzerio-Caricetea fuscae*
z dominacją *Eriophorum angustifolium* (tab. VII)

Zbiorowisko z wełnianką wąskolistną rozwija się w płytkich,
słystroficznych dołach potorfowych, których dna pokryte są cienką

warstwą mułu torfowego. Głębokość wody nie przekracza tu na ogół 20 cm. Jest to jedno z pospolitszych zbiorowisk spotykanych na terenie badań. Zajmuje ono znaczne, liczące nierzaz kilkaset metrów kwadratowych powierzchnie. Najlepiej wykształcone płaty tego zbiorowiska spotyka się w pobliżu miejscowości Stanisławów, Kieruzel, Żar, Kowalce, Kąt i Bozydar.

Zbiorowisko z wełnianką wąskolistną jest jednym z początkowych etapów zarastania dołów potorfowych, następującym często po *Nymphaeetum candidae*, a poprzedzającym sukcesję *Eriophoro angustifolii-Sphagnetum recurvi* czy też *Caricetum lasiocarpae*. Od strony lustra wody graniczny ono często z zespołem grzybieni północnych, zaś od strony brzegu torfowiska sąsiadują z nim: zespół wełnianki wąskolistnej i torfowca odgiętego, zespół turzycy nitkowej, zespół przygielki białej, a czasem także bór bagienny.

Podobne, choć uboższe florystycznie zbiorowisko opisał z okolic Warszawy Podbielski (1960) jako stadium *Eriophorum angustifolium-Sphagnum cuspidatum* (jedno ze stadiów zarastania dołów potorfowych). Niemal identyczne zbiorowisko opisali natomiast Kurowski i Maminiski (1981) z rezerwatu "Dobroń".

Eriophoro angustifolii-Sphagnetum recurvi

M. Jasn., J. Jasn. et S. Mark. 1968 (tab. VIII)

Zespół wełnianki wąskolistnej i torfowca odgiętego jest najpospolitszym zbiorowiskiem dystroficznych torfowisk na terenie badań. Tworzy on rozległe płaty mające najczęściej charakter uginającego się dywanu torfowców, czyli tak zwane pło mszarne. Od strony lustra wody *Eriophoro angustifolii-Sphagnetum recurvi* najczęściej graniczny z *Nymphaeetum candidae*, a od strony lądu z *Vaccinio uliginosi-Pinetum*. Czasem w jego sąsiedztwie spotyka się również inne typowe zespoły torfowisk przejściowych.

W miarę wypłycania i zarastania dołów potorfowych zespół wełnianki wąskolistnej i torfowca odgiętego często zajmuje siedliska opanowane dotychczas przez zespół grzybieni północnych, a nierzadko wkracza również na miejsca zajęte przez zbiorowisko z dominacją wełnianki wąskolistnej, zespół turzycy nitkowej czy też zespół turzycy dzióbkowatej. Poprzedza on w sukcesji mszary wysokotorfowiskowe lub młodociane postaci *Vaccinio uliginosi-inetum*.

Zbiorowisko z dominacją Community with domination

Numer kolejny zdjęcia Successive number of record	1	2	3	4	5	6	7
Numer zdjęcia Number of record	21 80	23 41	21 46	23 26	20 72	21 19	20 61
Data Date	22 07 82	30 06 83	15 07 82	29 06 83	4 10 78	14 07 82	15 06 78
Miejscowość Locality	Ch	Ro	Bo	NŚ	Zw	Ki	Kt
Numer torfowiska Peat bog number	95	30	102	52	8	81	66
Pokrycie warstwy runa c w % Cover of herb layer c in %	50	30	30	70	90	80	60
Pokrycie warstwy mszaków d w % Cover of moss layer d in %	100	100	100	100	90	100	80
Powierzchnia zdjęcia w m ² Area of record in m ²	10	25	25	15	25	25	50
Liczba gatunków Number of species	4	6	8	9	5	5	5

Scheuchzerio-Caricetea fuscae

<i>Eriophorum angustifolium</i>		3	3	3	4	4	5	4
<i>Sphagnum cuspidatum</i>	d	5	5	5	5	5	5	5
<i>Carex fusca</i>		.	.	1	1	2	1	1
<i>Drepanocladus fluitans</i>	d	.	.	+	.	.	+	.
<i>Carex canescens</i>		+
<i>Agrostis canina</i>		.	.	.	2	2	1	.
<i>Sphagnum subsecundum</i>	d
<i>Comarum palustre</i>		.	.	.	+	.	.	.
<i>Rhynchospora alba</i>		+	.	+
<i>Hydrocotyle vulgaris</i>		.	.	.	+	.	.	.

T a b e l a VII

<i>Epilobium palustre</i>
<i>Ranunculus flammula</i>
<i>Triglochin palustre</i>
<i>Carex lasiocarpa</i>
Molinio-Arrhenatheretea
<i>Juncus effusus</i>	.	.	.	1	+
<i>Lysimachia vulgaris</i>
<i>Lythrum salicaria</i>
<i>Molinia coerulescens</i>	.	.	.	+	.
Phragmitetea
<i>Carex rostrata</i>
<i>C. hudsoni</i>
<i>Galium palustre</i>
<i>Lysimachia thyrsiflora</i>
<i>Heleocharis palustris</i>
Gatunki towarzyszące
Accompanying species
<i>Drosera rotundifolia</i>	.	1	2	1	.
<i>Pinus silvestris</i>	c	+	.	.	.
<i>Oxycoccus quadripetalus</i>	+	+	.	.	.

Gatunki sporadyczne (Sporadic species): *Betula pubescens* c - 1 (8) - 15, (19), *Polygonum persicaria* + (18), *Polytrichum gracile* + (3) 1 (4) - 15,

Gatunki, które nie weszły do tabeli skróconej (Species not specified in articulatus 15, *Pohlia sphagnicola*, *Potentilla anserina*, *Sphagnum papillosum*

* Stałość i współczynnik pokrycia podano dla 34 zdjęć fitosociologicznych.

Tabela VII (cd.)

Juncus bulbosus 1 (2) - 15, *Lycopus europaeus* + (18), *Nymphaea candida* +
Salix cinerea c + (13, 19) - 1.

the above abridged table): *Betula verrucosa* c, *Calla palustris*, *Juncus*
51, *S. recurvum*.

Constancy and index of coverage given for 34 phytosociological records.

Lata 1966-1967

	<i>Eriophoro angustifolii-Sphagnetum recurvi</i>								
Numer kolejny zdjęcia Successive number of record	1	2	3	4	5	6	7	8	9
Numer zdjęcia Number of record	22 49	22 38	23 16	23 39	22 01	22 22	22 15	21 56	21 76
Data Date	23 06 83	29 07 82	28 06 83	30 06 83	23 07 82	28 07 82	27 07 82	21 07 82	22 07 82
Miejscowość Locality	Zw	Gr	KW	Zr	tc	E1	SW	Ku	Ba
Numer torfowiska Peat bog number	8	92	60	10	58	94	25	63	106
Pokrycie warstwy runa c w % Cover of herb layer c in %	50	80	80	70	60	70	50	70	60
Pokrycie warstwy msza- ków d w % Cover of moss layer d in %	90	100	90	100	80	100	100	100	100
Powierzchnia zdjęcia w m ² Area of record in m ²	15	25	25	25	25	25	10	25	25
Liczba gatunków Number of species	6	12	7	8	8	7	9	12	9
<i>Sphagnum recurvum</i>	5	5	5	4	5	5	5	5	5
<i>Eriophorum angustifo- lium</i>	2	2	.	1	4	2	.	3	4
<i>Scheuchzerio-Caricetea fuscae</i>	3	2	2	.
<i>Agrostis canina</i>	.	1	.	.	.	3	2	2	.
<i>Carex fusca</i>	+	2	2	+	.
<i>Comarum palustre</i>	.	+	1	+	.	.	2	+	.
<i>Rhynchospora alba</i>	3	2	.

M. Jasn., J. Jasn. et S. Mark. 1968

Tabela VIII

	10	11	12	13	14	15	16	17	18	19	20	Stałosć (Constancy) *	Współczynnik pokrycia (Index of coverage) *
	23 29	22 18	10 77	20 74	18 66	21 29	21 04	23 15	21 92	21 53	7 94		
	29 06 83	28 07 82	18 07 78	1	24 08	14 07	2 06	23 82	22 83	16 82	26 77		
	Wi	Ks	Ża	01	WG	KB	Tr	Sp	Ch	Kc	Pi		
	15	69	5	49	16	86	18	28	96	83	40		
	60	30	60	70	70	50	50	90	70	90	50		
	80	100	100	100	100	100	100	100	100	100	80		
	15	25	10	25	25	10	25	25	10	15	15		
	13	7	13	12	12	7	8	9	12	11	13		
	4	5	5	5	5	4	5	5	5	5	3	V	7966
	3	+	+	4	3	2	1	1	3	.	+	V	2242
	1	.	3	1	+	+	IV	825	
	.	.	1	1	.	.	2	.	+	1	.	III	256
	.	+	1	+	II	325
	1	.	.	+	.	.	.	+	1	.	.	II	117

Lasy podmokłe

<i>Viola palustris</i>	.	.	.	+	.	.	1	2	1
<i>Carex canescens</i>	.	+	.	.	+	.	+	.	.
<i>Hydrocotyle vulgaris</i>	.	+	1	.	.
<i>Drepanocladus fluitans</i> d	+
<i>Carex lasiocarpa</i>	.	4	.	.	+
<i>Sphagnum cuspidatum</i> d
<i>Epilobium palustre</i>
<i>Calliergon stramineum</i> d	+	.	.
<i>Drosera anglica</i>
<i>Oxycocco-Sphagnetea</i>
<i>Drosera rotundifolia</i>	+	+	2	.
<i>Oxycoccus quadripetalus</i>
<i>Andromeda polifolia</i>	1
<i>Aulacomnium palustre</i> d	1	.	.
<i>Sphagnum magellanicum</i> d
<i>Eriophorum vaginatum</i>
<i>Sphagnum papillosum</i> d
<i>Phragmitetea</i>
<i>Carex rostrata</i>	.	+	5	4	2	2	.	.	+
<i>Equisetum limosum</i>	.	.	+	1
<i>Lysimachia thyrsiflora</i>	1	.	1	.	.
<i>Typha latifolia</i>	1	.	.
<i>Heleocharis palustris</i>
<i>Carex pseudocyperus</i>	1	.	.
<i>Galium palustre</i>
<i>Carex vesicaria</i>	2

Lasy podmokłe

+	.	+	11	237
.	.	.	+	11	95
.	.	1	11	85
.	.	.	+	+	.	11	65
.	1	216
.	.	.	+	3	153
.	.	.	.	+	1	30
.	1	2
1	1	10
2	2	.	+	2	2	1	3	1	1	III	595
.	.	1	+	2	3	3	5	4	5	III	1202
.	1	1	3	1	.	1	133
.	1	20
.	.	+	1	35
.	+	.	.	1	10
.	1	.	1	79
.	III	1227
.	1	10
.	1	20
.	.	1	1	64
.	.	.	+	1	0
.	.	.	.	1	1	10
.	+	1	20
.	2	34

Tabela VIII (cd.)

<i>Molinio-Arrhenatheretea</i>									
<i>Juncus effusus</i>	.	+	+	.	.	1	+	1	.
<i>Lysimachia vulgaris</i>	.	+	+	.	.	+	.	.	.
<i>Molinia caerulea</i>
<i>Lythrum salicaria</i>	.	1
Gatunki towarzyszące Accompanying species									
<i>Pinus sylvestris</i>	c	+	.	.	.	+	.	.	.
<i>Polytrichum commune</i>	d	.	.	.	3	.	.	1	.
<i>Potentilla erecta</i>	+
<i>Salix cinerea</i>	c	+
<i>Betula pubescens</i>	c

Gatunki sporadyczne (Sporadic species): *Betula verrucosa* c 1 (20) - 55, *Frangula alnus* c + (12) - 11, *Juncus bulbosus* + (10), *Ledum palustre*, *Rubus* sp. + (20), *Sieblingia decumbens* + (10) - 1, *Sphagnum palustre* 1 (9),

Gatunki, które nie weszły do tabeli skróconej (Species not specified
Calamagrostis canescens, *C. epigeios*, *Carex flava*, *C. hudsoni* 74, *C. panicea* 10, *Hydrocharis morsus-ranae*, *Juncus articulatus*, *J. squarrosum*, *Juniperus* 35, *Phragmites communis* 34, *Polygonum persicaria*, *Polytrichum attenuatum*, *P. tum* 10, *Vaccinium myrtillus*, *V. uliginosum*, *V. vitis-idaea*.

* Stałość i współczynnik pokrycia podano dla 51 zdjęć fitosocjologicznych.

Eriophoro angustifolii-Sphagnetum recurvi M. Jasn., J. Jasn. et S. Mark.

- var. *Rhynchospora alba* - zdjęcie 1 (record 1)
- var. *Carex lasiocarpa* - zdjęcie 2 (record 2)
- var. *Carex rostrata* - zdjęcia 3-4 (records 3-4)
- var. *typicum* - zdjęcia 5-19 (records 5-19)
- var. *Juncus effusus* - zdjęcie 20 (record 20)

Tabela VIII (cd.)

.	.	+	+	3	III	326
.	1	1	40
+	1	1	30
.	1	20
.
+	+	.	.	+	+	.	.	+	+	III	24
.	.	.	3	.	.	+	+	1	.	II	320
.	.	+	1	.	.	.	1	2	.	II	139
.	.	.	+	+	II	22
.	.	.	1	+	+	1	20

Calla palustris + (3), 1 (20) - 74, Calluna vulgaris 1 (18), + (19) - + (13, 19) - 11, Nymphaea candida + (4), Polytrichum gracile + (2) - 10, 3 (10) - 167.

in the above abridged table): *Alnus glutinosa* c, *Anthoxanthum odoratum*, *C. stellulata* 55, *Cirsium palustre*, *Equisetum palustre* 20, *Holcus lanatus communis* c, *Menyanthes trifoliata* 54, *Nardus stricta*, *Peucedanum palustre strictum* 10, *Quercus robur* c, *Scheuchzeria palustris* 10, *Sphagnum compactum*

Constancy and index of coverage given for 51 phytosociological records.

1968.

Wyróżniono formę typową zespołu i cztery jego odmiany ekologiczne, które charakteryzuje panowanie: *Rhynchospora alba*, *Carex lasiocarpa*, *Carex rostrata* i *Juncus effusus*.

Eriophoro angustifolii-Sphagnetum recurvi typicum (zdj. 5-19)

Zespół wełnianki wąskolistnej i torfowca odgiętego w postaci typowej jest płaskim mszarem dywanowym. Najlepiej wykształcone jego płaty występują na torfowiskach w pobliżu miejscowości Kościuszki, Ksawerów, Żar, Kowalce, Trzęs, Bozydar i Oleśnik.

Eriophoro angustifolii-Sphagnetum recurvi

var. *Rhynchospora alba* (zdj. 1)

Wariant z *Rhynchospora alba* związany jest z brzeźnymi partiami zarastających dołów potorfowych. Jego obecność stwierdzono na torfowisku w pobliżu miejscowości Zawadów.

Eriophoro angustifolii-Sphagnetum recurvi

var. *Carex lasiocarpa* (zdj. 2)

Wariant z *Carex lasiocarpa* występuje w miejscach bardziej wilgotnionych niż postać typowa zespołu. Jego płaty spotyka się w sąsiedztwie lustra wody i w lokalnych obniżeniach. Płaty wariantu z turzycą nitkową spotkano na torfowiskach w pobliżu miejscowości Grudna i Trzęs.

Eriophoro angustifolii-Sphagnetum recurvi

var. *Carex rostrata* (zdj. 3-4)

Wariant z *Carex rostrata* jest najpospolitszą odmianą zespołu wełnianki wąskolistnej i torfowca odgiętego. Sąsiaduje często z formą typową zespołu, zajmując miejsca nieco wilgotniejsze. Duże jego płaty występują na torfowiskach w pobliżu miejscowości Bozydar i Trzęs.

Eriophoro angustifolii-Sphagnetum recurvi

var. *Juncus effusus* (zdj. 20)

Wariant z *Juncus effusus* jest skutkiem wydeptywania mszaru, najprawdopodobniej w wyniku wypasu. Jego niewielkie płaty spotykano na torfowisku w pobliżu miejscowości Piaski.

Opisany zespół w znacznym stopniu nawiązuje do analogicznych asocjacji podanych z terenu północnej Polski przez Jasnowskiego, Jasnowską i Markowskiego (1968) oraz Boińskiego, Boińską i Ceynową-Giedron (1974). Podobne płaty *Eriophoro angustifolii-Sphagnetum recurvi* opisali także Kurrowski i Mamiński (1981) z rezerwatu "Dobroń".

Rhynchosporetum albae Koch 1926 (tab. IX)

Zespół przygęłki białej rozwija się w miejscowościach, gdzie na podłożu mineralnym zalega cienka warstwa torfu. W okresach wilgotniejszych płyty tego zbiorowiska często są podtopione, zaś w okresach suchszych poziom wody opada do głębokości ok. 20 cm.

Rhynchosporetum albae na terenie badań występuje niezbyt często. Największe jego płyty stwierdzono na torfowiskach w pobliżu miejscowości Żar, Kąt, Trząs, Bozydar i Oleśnik. Najczęściej występuje on w brzeżnej strefie wypłyconych, mezotroficznych dołów potor-

T a b e l a IX

Rhynchosporetum albae Koch 1926

Numer kolejny zdjęcia Successive number of record	1	2	3	4	5	6	7	8	9	10		
Numer zdjęcia Number of record	23	18	21	23	22	20	10	21	23	21		
	28	50	31	13	41	85	79	79	24	43		
Data Date	29	21	14	23	29	29	18	22	29	15		
	06	06	07	06	07	07	07	07	06	07		
	83	79	82	83	82	80	78	82	83	82		
Miejscowość Locality	Wi	Kt	KB	Sp	Gr	Tr	ża	ża	01	Bo		
Numer torfowiska Peat bog number	15	68	86	28	92	19	6	2	51	98		
Pokrycie warstwy runa c w % Cover of herb layer c in %	80	80	40	70	70	60	40	60	70	60		
Pokrycie warstwy mszaków d w % Cover of moss layer d in %	10	10	50	50	100	80	50	10	60	80		
Powierzchnia zdjęcia w m ² Area of record in m ²	10	25	25	25	15	10	15	4	25	4		
Liczba gatunków Number of species	11	11	12	13	15	17	9	9	15	16		
<i>Rhynchospora alba</i>	5	2	3	4	3	2	3	2	4	3	V	4500
<i>Lycopodium inundatum</i>	+	1	.	+	3	2	.	2	1	1	II	680

Stałosć (Constancy)*
Współczynnik pokrycia (Index of coverage)*

Tabela IX (cd.)

<i>Scheuchzerio-Caricetea</i>												
<i>fuscae</i>												
<i>Eriophorum angustifo-</i>												
<i>lium</i>		+	2	2	1	+	2	3	.	1	2	V
<i>Sphagnum cuspidatum</i>	d	2	2	3	4	4	.	.	.	+	.	IV
<i>Agrostis canina</i>		+	.	.	1	2	+	1	.	2	.	III
<i>Sphagnum recurvum</i>	d	2	2	3	2	.	+	II
<i>Carex fusca</i>		.	1	+	.	+	+	II
<i>Drepanocladus flui-</i>												
<i>tans</i>	d	.	+	.	1	.	.	+	+	+	.	III
<i>Viola palustris</i>		1	1	.	.	1	+	II
<i>Hydrocotyle vulgaris</i>		+	.	.	+	.	I
<i>Epilobium palustre</i>		.	.	+	I
<i>Sphagnum subsecun-</i>												
<i>dum</i>	d	3	I
<i>Drosera anglica</i>		2	.	.	I
<i>Carex stellulata</i>		+	I
<i>Oxycocco-Sphagnetea</i>												
<i>Drosera rotundifolia</i>		+	1	1	2	3	1	+	1	1	3	V
<i>Sphagnum papillosum</i>	d	2	.	.	.	4	5	II
<i>Oxycoccus quadripeta-</i>												
<i>lus</i>		.	.	.	+	.	.	+	.	.	.	II
<i>Aulacomnium palustre</i>	d	+	.	.	.	+	I
<i>Sphagnum magellani-</i>												
<i>cum</i>	d	+	I
<i>Nardo-Callunetea</i>												
<i>Potentilla erecta</i>		+	.	.	+	+	2	.	.	1	1	III
<i>Calluna vulgaris</i>		+	.	+	+	.	1	II
<i>Sieblingia decumbens</i>		+	+	.	.	+	+	II
<i>Nardus stricta</i>		.	.	.	+	+	I
<i>Juncus squarrosus</i>		1	1	24
<i>Molinio-Arrhenatheretea</i>												
<i>Molinia coerulea</i>		.	3	.	1	+	.	.	.	+	.	II
<i>Lysimachia vulgaris</i>		.	.	.	1	.	+	II
<i>Juncus effusus</i>		+	I

Tabela IX (cd.)

Gatunki towarzyszące Accompanying species												
<i>Pinus sylvestris</i>	c	.	+	+	+	+	+	.	.	+	+	IV
<i>Betula pubescens</i>	c	.	.	+	+	.	+	I
<i>Juncus bulbosus</i>		.	.	+	.	.	.	+	+	.	.	II

Gatunki sporadyczne (Sporadic species): *Frangula alnus* c 1 (6) - 24, *Pellia epiphylla* + (1, 8) - 1, *Polytrichum commune* 1 (5), + (10) - 24, *P. gracile* 1 (3) - 24, *Populus tremula* c + (3), *Salix cinerea* c + (2, 3) - 2, *Sphagnum palustre* + (2), 2 (6) - 85.

Gatunki, które nie weszły do tabeli skróconej (Species not specified in the above abridged table): *Andromeda polifolia* 24, *Betula verrucosa* c, *Calamagrostis epigeios* 24, *Carex lasiocarpa*, *C. panicea*, *C. rostrata* 1, *Comarum palustre*, *Lycopodium europaeus* 1, *Sphagnum compactum* 179, *Vaccinium uliginosum*.

* Stałość i współczynnik pokrycia podano dla 21 zdjęć fitosociologicznych. Constancy and index of coverage given for 21 phytosociological records.

fowych. Z jednej strony graniczy przeważnie z plem mszarnym, z drugiej zaś kontaktuje się bezpośrednio z borem wilgotnym. *Rhynchosporetum albae* spotyka się także w kompleksie torfowisk wysokich, gdzie zajmuje podtopione dolinki między kepami.

Zespół przygęłki białej na drodze sukcesji następuje po zespole wełnianki wąskolistnej i torfowca odgiętego, a poprzedza wkroczenie mszarów wysokotorfowiskowych bądź też boru wilgotnego.

Opisane płaty *Rhynchosporetum albae* wykazują duże podobieństwo florystyczne i fizjonomiczne do płatów tego zbiorowiska podanych przez K r z y w a n s k i e g o (1967) i H e r e ż n i a k a (1972) z doliny Widawki oraz K u r o w s k i e g o i L e d e r (1976) z torfowiska Dawidów.

Caricetum lasiocarpae Koch 1926 (tab. X)

Zespół turzycy nitkowej zajmuje zazwyczaj miejsca podtopione. Nieźle zachowane fragmenty tego zbiorowiska stwierdzono jednak także na torfowiskach osuszonych.

Caricetum lasiocarpae tworzy rozległe płaty o powierzchni dochodzącej nierzaz do kilkuset metrów kwadratowych. Na terenie badań nie jest to jednak zespół zbyt częsty. Najlepiej wykształco-

T a b e l a x

Caricetum lasiocarpa Koch 1926

Numer kolejny zdjęcia Successive number of record	1	2	3	4	5	6	7	8	9	10	
Numer zdjęcia Number of record	22	22	18	23	22	21	18	7	7	7	
	32	19	42	44	06	69	63	75	98	66	
Data	29	28	20	30	27	21	21	15	14	25	
Date	07	07	06	06	07	07	06	08	08	07	
Miejscowość Locality	Zg	Ks	P1	Zr	St	Ku	Fo	P1	Pa	Pi	Współczynnik pokrycia (Index of coverage)*
Numer torfowiska Peatbog number	13	70	31	9	26	64	93	39	46	34	
Pokrycie warstwy runa c w %	100	80	80	90	80	70	80	70	40	90	Stałosć (Constancy)*
Cover of herb layer c in %											
Pokrycie warstwy mszaków d w %	-	20	20	70	100	100	90	90	90	50	
Cover of moss layer d in %											
Powierzchnia zdjęcia w m ² Area of record in m ²	10	15	25	15	10	10	25	50	50	50	
Liczba gatunków Number of species	7	8	17	11	12	7	8	14	18	18	
<i>Carex lasiocarpa</i>	5	4	3	4	4	4	4	3	3	5	V 6042
<i>Scheuchzerio-Caricetea</i>											
<i>fuscae</i>	.	3	.	+	2	1	+	1	1	+	IV 898
<i>Agrostis canina</i>	2	.	+	4	.	.	+	.	+	2	IV 783
<i>Comarum palustre</i>											
<i>Drepanocladus fluitans</i>	.	2	.	2	2	+	+	+	.	.	III 450
<i>Carex fusca</i>	.	1	+	1	1	1	III 314

Tabela X (cd.)

Tabela X (cd.)

<i>Phragmites communis</i>	I	0	
<i>Equisetum limosum</i>	2	.	I	94
<i>Carex vesicaria</i>	+	.	I	1
<i>Molinio-Arrhenatheretea</i>												
<i>Lythrum salicaria</i>	+	.	+	.	1	1	.	.	+	.	III	160
<i>Juncus effusus</i>	.	1	.	.	.	+	.	1	.	1	III	221
<i>Lysimachia vulgaris</i>	.	.	+	.	2	.	1	.	.	1	III	293
<i>Equisetum palustre</i>	.	.	+	I	1
<i>Molinia coerulea</i>	1	.	.	I	22
Gatunki towarzyszące Accompanying species												
<i>Pinus silvestris</i>	b	+	.	.	II	5
	c	+	.	.	+	+	+	
<i>Salix cinerea</i>	c	.	.	+	+	.	.	.	+	.	II	169
<i>Betula verrucosa</i>	b	+	.	I	22
	c	+	1	+		
<i>Sphagnum palustre</i>	d	5	.	I	886

Gatunki sporadyczne (Sporadic species): *Alnus glutinosa* c + (3, 10) - 1, *Betula pubescens* b + (10), c 1 (9, 10) - 85, *Drosera rotundifolia* + (7), 1 (9) - 22, *Ledum palustre* + (10), *Oxycoccus quadripetalus* 1 (10) - 42, *Pohlia sphagnicola* + (8), *Polytrichum attenuatum* 1 (8) - 21, *P. commune* 1 (9), + (10) - 42, *Potentilla anserina* + (5), *Rumex obtusifolius* + 1, *Utricularia intermedia* + (3) - 313.

Gatunki, które nie weszły do tabeli skróconej (Species not specified in the above abridged table): *Aulacomnium palustre* 1, *Bryum ventricosum*, *Calliciergon giganteum* 156, *C. cuspidatum* 73, *Cardamine pratensis*, *Carex canescens* 74, *C. panicea* 1, *Epilobium palustre* 1, *Frangula alnus* c, *Hypericum acutum*, *Iris pseudoacorus* 42, *Juncus articulatus*, *Lycopodium europaeum* 21, *Lysimachia thyrsiflora*, *Nymphaea candida*, *Potentilla erecta* 21, *Scutellaria galericulata* 21, *Senecio sylvaticus* 21, *Sphagnum squarrosum* 260, *Taraxacum officinale*, *Utricularia vulgaris*.

* Stałość i współczynnik pokrycia podano dla 24 zdjęć fitosociologicznych. Constancy and index of coverage given for 24 phytosociological records.

ne jego płaty występują na torfowiskach w pobliżu miejscowości Tatar, Kąt i Piaski. Od strony lustra wody często graniczy on z zespołem grzybieni północnych, a od strony lądu sąsiaduje z nim na ogół pło mszarne.

Zespół ten stanowi jeden z początkowych etapów zarastania dołów potorfowych. Następuje często po *Nymphaeetum candidae*, a w miarę wypłacania i zarastania zbiornika jest zastępowany przez *Eriophoro angustifolii-Sphagnetum recurvi*.

Podobne płaty *Caricetum lasiocarpae* opisali Kępczyński (1965) z Wysoczyzny Dobrzyńskiej, Kozak (1968) z nadleśnictwa Parczew oraz Kurowski i Mamiński (1981) z rezerwatu Dobroń.

Carici-Agrostietum caninae R. Tx. 1937

(tab. XI)

Zespół turzycy siwej i mietlicy psiej występuje na brzegach dołów potorfowych o stosunkowo wysokim trofizmie. Jego płaty często są koszone i wypasane.

Carici-Agrostietum caninae na terenie badań jest zbiorowiskiem bardzo pospolitym. Większe jego płaty spotyka się na torfowiskach w pobliżu miejscowości Kuźnica, Podlas, Trząs, Oleśnik, Piaski i Siódemka.

Zespół turzycy siwej i mietlicy psiej często graniczy z wilgotnymi łąkami oraz szuwarami wielkoturzycowymi. Nierzadko w jego sąsiedztwie spotyka się także zarośla łożowe, zbiorowisko z dominacją turzycy pospolitej oraz fragmenty zespołu wełnianki wąskolistnej i torfowca odgiętego. Na drodze sukcesji wkracza on na miejsce szuarów wielkoturzycowych, a następnie sam jest zastępowany przez zbiorowisko z turzycą pospolitą lub też przez zarośla łożowe.

Podobne, choć bogatsze florystycznie płaty *Carici-Agrostietum caninae* opisał z doliny Widawki Herenzik (1972).

Sphagnetum papilloei Schwick. 1940 (tab. XII)

Mszar z torfowcem brodawkowatym rozwija się przy brzegach wypłyconych dołów potorfowych. Na zbadanych torfowiskach występuje on stosunkowo rzadko. Większe jego płaty stwierdzono w pobliżu miejscowości Podlas, Bednarze, Brzezie i Kowalce.

Carici-Agrostietum							
Numer kolejny zdjęcia Successive number of record	1	2	3	4	5	6	7
Numer zdjęcia Number of record	20	10	7	10	21	21	23
	95	74	99	81	57	63	46
Data Date	29	13	15	1	21	13	1
	08	06	06	08	07	07	07
	80	78	78	78	82	82	83
Miejscowość Locality	Tr	Pd	Os	01	Ku	PL	Kw
Numer torfowiska Peat bog number	18	45	47	48	65	32	59
Pokrycie warstwy runa c w % Cover of herb layer c in %	70	90	80	90	80	80	80
Pokrycie warstwy mszaków d w % Cover of moss layer d in %	5	10	10	20	90	90	60
Powierzchnia zdjęcia w m ² Area of record in m ²	15	50	50	15	25	25	25
Liczba gatunków Number of species	18	15	18	12	10	19	11
<i>Agrostis canina</i>	+	3	2	4	3	2	4
<i>Carex canescens</i>	.	.	+	.	+	+	1
<i>C. stellulata</i>	1	.	.	+	+	.	.
Scheuchzerio-Caricetea fuscae							
<i>Carex fusca</i>	.	2	2	+	3	3	2
<i>Ericophorum angustifolium</i>	3	3	.	.	3	2	+
<i>Drepanocladus fluitans</i>	.	2	2	2	5	3	2
<i>Hydrocotyle vulgaris</i>	.	1	.	.	+	.	.
<i>Viola palustris</i>	.	.	3	2	.	2	.
<i>Sphagnum subsecundum</i>	3	3	.
<i>Comarum palustre</i>
<i>Juncus articulatus</i>	+	+
<i>Ranunculus flammula</i>
<i>Rhynchospora alba</i>	1
<i>Epilobium palustre</i>	+
<i>Veronica scutellata</i>	.	.	+
<i>Calliergon stramineum</i>	d	.	.	.	1	.	.
<i>Stellaria palustris</i>
<i>Carex lasiocarpa</i>

T a b e l a XI

caninae R. Tx. 1937

	8	9	10	11	12	13	14	15	16	17	18	19	20				
	21	7	7	18	18	23	23	10	23	8	22	21	22				
	07	86	83	62	46	11	31	70	21	00	46	58	24				
	29	23	19	21	20	23	29	3	28	15	23	21	29				
	06	09	09	06	06	06	06	08	06	06	06	07	07				
	81	77	77	79	79	83	83	78	83	78	83	82	82				
	Tr	Pi	Pi	Fo	Pl	PG	Wi	GS	ZG	Kt	Si	Ku	Sz				
	20	42	35	93	31	44	14	90	12	67	29	62	21				
	90	90	70	90	80	90	70	70	90	60	90	100	100				
	50	40	70	90	90	70	100	90	100	100	90	100	90				
	25	50	50	25	25	10	10	25	15	50	25	25	25				
	15	15	19	18	16	12	22	26	15	24	22	22	21				
	2	5	3	3	1	2	2	1	4	2	2	4	4	V	2855		
	+	+	.	.	+	2	2	.	+	.	1	1	2	IV	358		
	1	1	+	+	+	1	+	III	100		
	2	1	1	1	+	4	4	3	IV	1630		
	3	.	.	3	2	2	.	2	+	2	+	.	.	IV	1074		
	+	.	.	+	+	.	.	+	+	III	986		
	2	1	+	+	.	.	.	2	.	+	.	.	.	III	236		
	.	.	.	1	.	.	+	1	1	1	.	.	.	II	316		
	3	3	4	5	5	.	.	1	II	1726		
	.	.	+	+	3	2	1	1	.	.	.	+	1	III	735		
	.	.	+	+	3	2	1	1	.	.	.	+	.	II	19		
	.	.	.	2	1	.	1	.	.	I	123		
	1	.	1	.	.	I	48		
	+	.	+	.	.	I	2		
	+	.	+	.	.	I	18		
	+	.	+	.	.	I	33		
	2	2	.	I	186	
	1	I	33		

Tabela XI (cd.)

<i>Sphagnum teres</i>	d
<i>Triglochin palustre</i>	
<i>Carex flava</i>		+
<i>Sphagnum contortum</i>	d
<i>Drepanocladus vernicosus</i>	d
<i>Sphagnum cuspidatum</i>	d
<i>Molinio-Arrhenatheretea</i>								
<i>Juncus effusus</i>		1	.	1	2	1	+	2
<i>Lythrum salicaria</i>		+	+	+
<i>Lysimachia vulgaris</i>		.	1	.	.	.	1	3
<i>Cardamine pratensis</i>		.	.	+
<i>Deschampsia caespitosa</i>		.	.	.	1	.	.	.
<i>Caltha palustris</i>	
<i>Festuca rubra</i>		.	.	+
<i>Holcus lanatus</i>	
<i>Climacium dendroides</i>	d
<i>Equisetum palustre</i>	
<i>Lychnis flos-cuculi</i>	
<i>Myosotis palustris</i>	
<i>Poa pratensis</i>		.	.	+
<i>Cerastium vulgatum</i>	
<i>Galium uliginosum</i>	
<i>Rumex acetosa</i>	
<i>Trifolium repens</i>	
<i>Phragmitetea</i>								
<i>Galium palustre</i>		+	.	1	.	+	1	+
<i>Carex rostrata</i>		+
<i>Heleocharis palustris</i>		.	.	2
<i>Peucedanum palustre</i>		+
<i>Equisetum limosum</i>	
<i>Carex hudsoni</i>	
<i>Lysimachia thyrsiflora</i>	
<i>Glyceria fluitans</i>		.	.	1
<i>Carex vesicaria</i>		.	.	+
<i>Iris pseudoacorus</i>		+	.
<i>Carex pseudocyperus</i>	

<i>Alnetea glutinosae</i>							
<i>Lycopus europaeus</i>		.	+	.	.	.	+
<i>Salix cinerea</i>	c	1
<i>S. aurita</i>	c
<i>S. pentandra</i>	c
<i>Dryopteris thelypteris</i>	
<i>Nardo-Callunetea</i>							
<i>Potentilla erecta</i>		+	+	.	+	.	.
<i>Sieglinia decumbens</i>		.	+
<i>Hieracium pilosella</i>	
<i>Calluna vulgaris</i>	
<i>Nardus stricta</i>	
<i>Oxycocco-Sphagnetea</i>							
<i>Drosera rotundifolia</i>		.	+
<i>Aulacomnium palustre</i>	d	.	.	.	+	.	+
<i>Oxycoccus quadripetalus</i>	
Gatunki towarzyszące Accompanying species							
<i>Calliergon cuspidatum</i>	d	1
<i>Betula pubescens</i>	c	+
<i>Sphagnum palustre</i>	d	1
<i>Carex panicea</i>		+
<i>Pinus sylvestris</i>	c	.	+
<i>Ranunculus repens</i>		.	.	+	.	.	.
<i>Anthoxanthum odoratum</i>	
<i>Mentha arvensis</i>		.	.	+	.	.	+
<i>Carex oederi</i>	
<i>Calliergon giganteum</i>	d

Gatunki sporadyczne (Sporadic species): *Agrostis vulgaris* 1 (4) - 16, (1), *Bidens tripartitus* + 2, *Bryum ventricosum* + (18) - 1, *Campylium* - 1, *Juncus bulbosus* + (9, 10) - 1, *Ledum palustre* + (17), *Nymphaea candida* *hydropiper* + (10), *P. tomentosum* 1 (10) - 16, *Polytrichum attenuatum* + (4), 1a + (9), *Senecio sylvaticus* + (9), 1 (10) - 16. *Utricularia intermedia*

Gatunki, które nie weszły do tabeli skróconej (Species not specified in the table): *Lepidocarpus* 16, *C. pallescens* 16, *C. pilulifera*, *Cirsium palustre*, *Mnium affine* 16, *Molinia coerulea* 16, *Phragmites communis* 121, 16, *Rubus* sp., *Sphagnum magellanicum*, *Tupha latifolia* 16.

* Stałość i współczynnik pokrycia podano dla 31 zdjęć fitosocjologicznych.

Tabela XI (cd.)

Alnus glutinosa c + (14), *Alopecurus geniculatus* + (3), *Aneura latifrons* + *polygamum* + (1), *Ceratophyllum demersum* + (1), *Frangula alnus* c + (1, 9) + (12), *Pellia epiphylla* + (2, 14), *Philonotis fontana* + (14), *Polygonum p. commune* + (17), *Potentilla anserina* 1 (3), + (19) - 49, *Rumex acetosella* + (1), *U. minor* + (2) - 16.

above abridged table): *Alisma plantago-aquatica*, *Betula verrucosa* c 57, *Ca-Juncus squarrosus*, *Lemna minor*, *Lotus uliginosus* c 17, *Lysimachia nummularia*, *Polygonum perfoliatum* 16, *Polytrichum juniperinum* 56, *Rhytidadelphus squarrosus*

Constancy and index of coverage given for 31 phytosociological records.

Sphagnetum papillosoi najczęściej graniczy z *Eriophoro angustifolii-Sphagnetum recurvi* oraz *Vaccinio uliginosi-Pinetum*. Rzadziej w jego sąsiedztwie spotyka się *Rhynchospororetum albae*. Mszar z torfowcem brodawkowatym w miarę wypłycania się dołu potorfowego wkracza na miejsca zajęte przez zespół wełnianki wąskolistnej i torfowca odgętego. Stanowi on zarazem etap sukcesji poprzedzający wkroczenie boru bagiennego.

Opisany zespół jest podobny do płatów *Sphagnetum papillosoi* podanych przez Jasnowskiego, Jasnowską i Markowskiego (1968) z Puszczy Goleniowskiej.

T a b e l a XII

Sphagnetum papillosoi Schwick. 1940

Numer kolejny zdjęcia Successive number of record	1	2	3	4	5	6	7	8	9	10		
Numer zdjęcia Number of record	23 40	18 43	21 42	10 58	21 34	23 33	21 77	21 23	20 82	21 38		
Data Date	30 06 83	20 06 79	15 07 82	20 07 78	14 06 82	30 07 83	22 07 82	14 07 82	25 08 80	14 07 82		
Miejscowość Locality	Zr Peatbog number	P1	Bo	Ko	Bd	NJ	Ba	Ki	KM	Be		
Numer torfowiska Peatbog number	10	31	98	76	105	53	107	80	78	103		
Pokrycie warstwy runa c w % Cover of herb layer c in %	40	70	40	50	30	40	70	40	80	40		
Pokrycie warstwy mszaków d w % Cover of moss layer d in %	100	100	100	100	100	100	100	100	100	100		
Powierzchnia zdjęcia w m ² Area of record in m ²	10	25	15	50	25	25	25	25	15	25		
Liczba gatunków Number of species	10	17	10	20	14	11	10	10	20	10		
<i>Sphagnum papillosum</i> d	4	4	5	5	5	5	5	5	5	5	V	8125
<i>Oxycocco-Sphagnetea</i>												
<i>Drosera rotundifolia</i>	2	+	1	1	1	.	1	+	+	2	V	627
<i>Oxycoccus quadripetalus</i>	+	3	3	1	2	1	.	.	.	+	IV	1089

Współczynnik pokrycia (Index of coverage)*

Statość (Constancy)*

Tabela XII (cd.)

<i>Andromeda polifolia</i>	.	2	.	.	1	+	+	-	2	.	.	II	290
<i>Sphagnum rubellum</i>	d	.	.	.	1	+	.	I	26
<i>Aulacomnium palustre</i>	d	.	.	.	1	I	26
<i>Sphagnum magellanicum</i>	d	2	I	113
<i>Scheuchzerio-Caricetea fuscae</i>													
<i>Eriophorum angustifolium</i>		2	+	1	2	2	3	4	2	2	3	V	1739
<i>Sphagnum recurvum</i>	d	3	3	-	1	+	+	1	+	1	.	III	927
<i>Agrostis canina</i>		.	+	.	1	+	2	+	1	2	.	IV	553
<i>Rhynchospora alba</i>		2	.	.	+	+	+	+	.	.	1	III	167
<i>Carex stellulata</i>		+	+	.	.	.	+	1	.	+	.	III	141
<i>Viola palustris</i>		.	.	.	1	1	.	.	1	1	.	III	263
<i>Sphagnum cuspidatum</i>	d	+	+	2	II	114
<i>Carex fusca</i>		.	.	2	1	.	+	+	.	.	.	II	276
<i>Comarum palustre</i>		.	+	I	26
<i>Carex flava</i>		.	.	.	+	.	+	+	.	.	.	I	1
<i>C. lasiocarpa</i>		+	I	1
<i>Hydrocotyle vulgaris</i>		2	.	I	138
<i>Drosera anglica</i>		1	.	I	25
<i>Calliergon stramineum</i>	d	+	.	I	1
<i>Juncus articulatus</i>		+	.	I	1
<i>Ranunculus flammula</i>		+	.	I	1
<i>Nardo-Callunetea</i>													
<i>Potentilla erecta</i>		.	.	1	1	1	+	2	2	2	.	IV	440
<i>Nardus stricta</i>		.	.	.	1	.	.	.	+	+	.	II	27
<i>Calluna vulgaris</i>		1	+	II	226
<i>Sieglungia decumbens</i>		.	.	.	+	1	.	I	51
<i>Molinio-Arrhenatheretea</i>													
<i>Molinia caerulea</i>		.	1	1	2	+	II	165
<i>Juncus effusus</i>		.	.	.	+	.	+	+	+	+	.	II	115
<i>Lysimachia vulgaris</i>		.	+	.	+	+	+	+	+	+	.	I	2

Tabela XII (cd.)

Gatunki sporadyczne (Sporadic species): *Betula pubescens* c + (2) - 2, *Calamagrostis epigeios* + (9) - 1, *Carex panicea* + (4), 3 (9) - 188, *C. rostrata* + (4, 10) - 1, *Frangula alnus* c + (9) - 1, *Peucedanum palustre* + (2) - 1, *Phragmites communis* 2 (2) - 300, *Polytrichum commune* + (4, 10) - 89, *Salix cinerea* c + (2) - 1.

Gatunki, które nie weszły do tabeli skróconej (Species not specified in the above abridged table): *Anthoxanthum odoratum* 25, *Betula verrucosa* b, c 2, *Carex canescens* 25, *Drepanocladus fluitans* 1, *Eriophorum vaginatum* 1, *Juncus bulbosus* 1, *Ledum palustre* 1, *Lythrum salicaria* 1, *Sphagnum subsecundum* 88.

* Stałość i współczynnik pokrycia podano dla 20 zdjęć fitosocjologicznych. Constancy and index of coverage given for 20 phytosociological records.

Sphagnum magellanicum

Kästner et Flössner 1933 em. Dierss. 1975
(tab. XIII)

Mszar z torfowcem magellańskim występuje na stosunkowo cienkiej warstwie torfu, której miąższość nie przekracza 30 cm. Płaty tego zespołu mają postać płaskich, poduchowatych kep.

Sphagnum magellanicum na terenie badań spotyka się rzadko. Najlepiej wykształcone jego płaty występują na torfowiskach w pobliżu miejscowości Szubienice, Trząs i Gałkowice Stare.

Mszar z torfowcem magellańskim często graniczy z zespołem wełnianki wąskolistnej i torfowca odgiętego. Od strony utwardzonego brzegu torfowiska towarzyszy mu natomiast bór bagienny.

Na drodze sukcesji *Sphagnetum magellanici* następuje po *Eriophoro angustifolii-Sphagnetum recurvi* i poprzedza rozwój *Vaccinio uliginosi-Pinetum*.

Płaty *Sphagnum magellanicum* stwierdzone na terenie badań w znacznym stopniu nawiązują do zbiorowiska pod nazwą *Sphagnum medio-rubelli* podanego przez Wnukową i Wnuka (1971) z torfowiska Piskorzeniec oraz Kurowskiego i Leder (1976) z torfowiska Dawidów. Na torfowisku Piskorzeniec

zanotowano jednak mniejszy udział gatunków z klasy *Scheuchzerio-Caricetea fuscae*.

T a b e l a XIII

Sphagnetum magellanicum
(Malc. 1929) Kästner et Flössner 1933

Numer kolejny zdjęcia Successive number of record	1	2	3	4	5	6	7	8	9	10		
Numer zdjęcia Number of record	21 01	21 36	10 85	10 68	10 57	21 06	23 27	22 25	22 23	21 52		
Data Date	2 06 81	14 07 82	7 08 78	2 08 78	18 07 78	29 06 81	29 06 83	29 07 82	29 07 82	18 07 82		
Miejscowość Locality	Tr	Bd	GS	GS	Ża	Tr	Wi	Sz	Sz	Kc		
Numer torfowiska Peat bog number	19	105	91	91	1	20	15	23	22	83		
Pokrycie warstwy runa c w % Cover of herb layer c in %	50	70	30	40	70	70	50	60	60	90		
Pokrycie warstwy mszaków d w % Cover of moss layer d in %	90	100	100	100	100	100	100	100	100	100		
Powierzchnia zdjęcia w m ² Area of record in m ²	10	25	25	10	50	25	15	25	10	25		
Liczba gatunków Number of species	15	10	20	15	21	24	16	18	16	14		
											Stałosć (Constancy)*	
<i>Sphagnum magellanicum</i> d	4	5	4	.	3	3	4	5	5	4	V	5938
<i>S. rubellum</i> d	1	+	1	3	.	+	III	398
											Współczynnik pokrycia (Index of coverage)*	
<i>Oxycocco-Sphagnetea</i>												
<i>Drosera rotundifolia</i>	.	+	2	2	+	1	2	1	1	1	V	898
<i>Aulacomnium palustre</i> d	+	+	.	+	+	+	+	.	1	1	IV	88
<i>Oxycoccus quadripetatus</i>	.	2	+	+	2	+	.	1	2	2	V	774
<i>Sphagnum papillosum</i> d	.	1	2	3	3	.	.	+	.	.	III	960
<i>Polytrichum strictum</i> d	+	.	+	.	.	+	/	.	.	.	II	3
<i>Andromeda polifolia</i>	.	1	.	.	+	.	.	.	+	.	II	44
<i>Sphagnum acutifolium</i> d	1	I	42

Tabela XIII (cd.)

Tabela XIII (cd.)

Gatunki towarzyszące Accompanying species												
<i>Frangula alnus</i>	c	.	.	+	.	+	1	.	.	.	II	43
<i>Pinus sylvestris</i>	c	+	+	+	.	.	II	3

Gatunki sporadyczne (Sporadic species): *Anthoxanthum odoratum* + (9) - 42, *Betula pubescens* c + (3, 7) - 2, *Carex panicea* + (1), 1 (5) - 43, *Entodon schreberi* 1 (10) - 42, *Juniperus communis* c + (7) - 2, *Ledum palustre* + (3) - 1, *Polytrichum commune* 2 (4), + (5) - 148, *Salix cinerea* c + (8) - 1, *Sphagnum imbricatum* + (9) - 1, *S. palustre* 2 (6) - 146, *Vaccinium myrtillus* + (7) - 1.

Gatunki, które nie weszły do tabelli skróconej (Species not specified in the above abridged table): *Agrostis vulgaris* 1, *Drepanocladus fluitans* 1.

* Stałość i współczynnik pokrycia podano dla 12 zdjęć fitosociologicznych. Constancy and index of coverage given for 12 phytosociological records.

4. WNIOSKI

Wśród zbiorowisk stwierdzonych na zbadanych torfowiskach występują zespoły rzadko spotykane na terenie Polski środkowej. Są to zwłaszcza *Sphagnetum papilloi* i *Sphagnetum magellanici*.

Wielu torfowiskom grozi zagłada. Znikną na zawsze siedliska wielu interesujących zespołów roślinnych. Jednak, być może, nie wszystkie torfowiska będące w zasięgu leja depresyjnego ulegną odwodnieniu. Te, pod którymi niezbyt głęboko zalegają pokłady gliny zwałowej, mają szansę przetrwania.

Zachowane torfowiska należałoby objąć ochroną zarówno ze względu na ich walory krajobrazowe, jak również doniosłe znaczenie biocenotyczne.

Pragnę podziękować prof. drowi R. Olaczkowi za umożliwienie realizacji tematu oraz cenne rady i wskazówki, a wszystkim pracownikom Zakładu Botaniki IBŚ UŁ za krytyczne uwagi.

5. PIŚMIENNICTWO

- B o i ń s k i M., B o i ń s k a U., C e y n o w a - G i e ł d o n M.
1974. Roślinność jezior Zdręczno i Kozie na obszarze Borów Tucholskich.
St. Soc. Sc. Torun., sec. D, 10, 1: 1-35.
- C z y ż e w s k a K., O l a c z e k R. 1983. Bełchatowski Okręg Przemysłowy w badaniach Instytutu Biologii Środowiskowej Uniwersytetu Łódzkiego. Acta Univ. Lodz., Folia sozol., 1: 89-123.
- D u b a n i e w i c z H., M a k s y m i u k Z., Z y c h S. 1971. Bioklimatyczna bonitacja obszaru województwa łódzkiego dla potrzeb rekreacji. Zesz. nauk. Uniw. łódz., ser. II, 43: 3-60.
- G a w l i k G. 1970. Rola procesów peryglacialnych w rozwoju rzeźby Kotliny Szczerbowskiej. Acta geogr. Lodz., 24.
- H e r e ź n i a k J. 1972. Zbiorowiska roślinne doliny Widawki. Monogr. bot., 35: 1-160.
- J a s n o w s k i M., J a s n o w s k a J., M a r k o w s k i S. 1968. Ginące torfowiska wysokie i przejściowe w pasie nadbałtyckim Polski. Ochr. Przyr., 33: 69-124.
- K ę p c z y ń s k i K. 1965. Szata roślinna Wysoczyzny Dobrzyńskiej. Wyd. UMK, Toruń: 1-325.
- K o n d r a c k i J. 1978. Geografia fizyczna Polski. PWN, Warszawa: 1-463.
- K o z a k K. 1968. Zbiorowiska roślinne torfowisk przejściowych i wysokich oraz ich powiązania z lasami nadleśnictwa Parczew. Ann. UMCS, sec. C, 23, 14: 215-237.
- K r z y w a ń s k i D. 1967. Torfowiska z *Lycopodium inundatum* w pradolinie rzeki Widawki. Zesz. nauk. Uniw. łódz., ser. II, 23: 145-157.
- K r z y w a ń s k i D. 1974. Zbiorowiska roślinne starorzeczy śródkowej Warty. Monogr. bot., 43: 1-80.
- K u r o w s k i J., L e d e r H. 1976. Szata roślinna torfowiska Dawidów. Zesz. nauk. Uniw. łódz., Acta Univ. Lodz., ser. II, 2: 69-80.
- K u r o w s k i J., M a m i ń s k i M. 1981. Studium geobotaniczne projektowanego rezerwatu torfowiskowo-leśnego "Dobroń". Maszynopis. Wojewódzki Konserwator Przyrody, Sieradz: 1-17.
- M a t u s z k i e w i c z W. 1981. Przewodnik do oznaczania zbiorowisk roślinnych Polski. PWN, Warszawa: 1-928.
- P a c o w s k i R. 1967. Biologia i stratygrafia torfowiska wysokiego

- Wieliszewo na Pomorzu Zachodnim. Zesz. probl. Post. Nauk. roln., 76: 101-196.
- Podbielekowski Z. 1960. Zarastanie dołów potorfowych. Monogr. bot., 10, 1: 1-144.
- Wnukowa M., Wnuk Z. 1971. Interesujące zbiorowiska leśne uroczyska Piskorzeniec. Zesz. nauk. Univ. łódz., ser. II, 41: 209-229.

6. SUMMARY

Peatbogs constitute characteristic components of a landscape of Bełchatów Industrial Region. In the paper a differentiation of peatbog plant communities has been presented. The following plant communities have been described: *Nymphaeetum candidae* Miljan 1958, *Typhetum angustifoliae* (Allorge 1942) Soó 1927, *Eleocharitetum palustris* Šennikov 1919, *Equisetetum limosii* Steffen 1931, *Phragmitetum communis* (Gams 1927) Schmale 1939, *Typhetum latifoliae* Soó 1927, *Iridetum pseudacori* Egger 1933 (n. n.), *Caricetum rostratae* Rübel 1912, *Caricetum elatae* Koch 1926, *Caricetum appropinquatae* (Koch 1926) Soó 1938, *Caricetum vesicariae* Br.-Bl. et Denis 1926, community with domination of *Juncus effusus*, community with domination of *Carex fusca*, community with domination *Eriophorum angustifolium*, *Eriophoro angustifolii-Sphagnetum recurvi* M. Jasn., J. Jasn. et S. Mark. 1968, *Rhynchosporetum albae* Koch 1926, *Caricetum lasiocarpae* Koch 1926, *Carici-Agrostietum caninae* R. Tx. 1937, *Sphagnetum papilloosi* Schwick. 1940 and *Sphagnetum magellanici* (Malc. 1929) Kästner et Flössner 1933.

The greatest danger for peatbogs is a deep drainage of terrain caused by a construction of the brown coal minery. The peatbogs occuring over a coat of a clay have a chance of survival. They should be protected in consideration of their landscape value and ecological significance.

Mgr Maciej Mamiński
Zakład Botaniki
Instytutu Biologii Środowiskowej
Uniwersytetu Łódzkiego
ul. Banacha 12/16, 90-237 Łódź

Wpłynęło do Redakcji
Folia botanica
1.04.1985